

# NOTAS DE ATENDIMENTO

MARCOS AGNOLETTTO FORTE

RESUMO. Estas são notas não oficiais sobre os temas mais importantes discutidos durante os horários de atendimento e as aulas dadas durante o estágio de docência.

## CONTEÚDO

1. Aula do dia 18/09/2023	2
1.1. Revisão de geometria diferencial I	2
1.2. A faixa de Möbius	5
1.3. Um panorama de geometria diferencial II através do SageMath	10
2. Aula do dia 20/09/2023	12
2.1. Orientabilidade	12
2.2. O gradiente	15
2.3. A segunda forma fundamental	15
2.4. A curvatura normal	17
2.5. Exemplos	17
3. Aula do dia 25/09/2023	21
3.1. A aplicação normal de Gauss	21
3.2. Exemplos	22
3.3. $dN_p$ é uma aplicação autoadjunta	23
3.4. Consequências geométricas	24
3.5. Exemplos	25
3.6. A fórmula de Euler	26
Referências	27

## 1. AULA DO DIA 18/09/2023

Objetivos da aula:

- Explicar as regras do curso (aproximadamente 10 minutos)
- Fazer uma revisão relâmpago de Geometria Diferencial I (aproximadamente 30 minutos)
- Introdução à faixa de Möbius (aproximadamente 10 minutos)
- Pausa de 10 minutos
- Obter a parametrização da Faixa de Möbius (aproximadamente 20 minutos)
- Calcular os coeficientes da primeira forma fundamental (aproximadamente 20 minutos)
- Um visão panorâmica do curso de Geometria Diferencial II através do SageManifolds (aproximadamente 10 minutos)
- Acabar 10 minutos antes

Tempo de aula (expectativa): 120 minutos.

### 1.1. Revisão de geometria diferencial I. A referência para esta seção é [DC05].

**Definição 1.1.** Uma curva diferenciável parametrizada no  $\mathbb{R}^3$  é uma aplicação diferenciável  $\alpha : I \subset \mathbb{R} \rightarrow \mathbb{R}^3$ . Escrevemos  $\alpha(t) = (x(t), y(t), z(t))$ , para  $t \in I$ , o conjunto  $\alpha(I)$  é chamado de **traço da curva**  $\alpha$ .

**Exemplo 1.1.**  $\alpha(t) := (\cos(t), \sin(t), t)$ ,  $t \in \mathbb{R}$ , é uma curva diferenciável parametrizada no  $\mathbb{R}^3$  ( $\mathcal{C}^\infty$ ) cujo traço está contido em um cilindro.

**Definição 1.2.** Sejam  $\alpha : I \subset \mathbb{R} \rightarrow \mathbb{R}^3$  uma curva parametrizada diferenciável e  $t_0 \in I$  tal que  $\alpha'(t_0) \neq 0$ . Neste caso, dizemos que  $\alpha'(t_0)$  é o **vetor tangente a  $\alpha$  no ponto  $\alpha(t_0)$**  e que  $\alpha(t_0)$  é um **ponto regular de  $\alpha$** .

**Definição 1.3.** Seja  $\alpha : I \subset \mathbb{R} \rightarrow \mathbb{R}^3$  uma curva parametrizada diferenciável. Dizemos que  $\alpha$  é **regular** se  $\alpha(t_0)$  for um ponto regular de  $\alpha$  para todo  $t_0 \in I$ .

Note que uma curva parametrizada diferenciável  $\alpha : I \subset \mathbb{R} \rightarrow \mathbb{R}^3$  é regular se  $\alpha'(t_0) \neq 0$  para todo  $t_0 \in I$ .

**Exemplo 1.2.**  $\alpha(t) := (t^2, t^3)$ ,  $t \in \mathbb{R}$ , é uma curva diferenciável ( $\mathcal{C}^\infty$ ) que não é regular.

**Definição 1.4.** Seja  $\alpha : I \subset \mathbb{R} \rightarrow \mathbb{R}^3$  uma curva regular. Dizemos que  $\beta$  é uma **reparametrização de  $\alpha$**  se existir um difeomorfismo  $h : J \subset \mathbb{R} \rightarrow I$  tal que  $\beta = \alpha \circ h$ .

**Definição 1.5.** Seja  $\alpha : I \subset \mathbb{R} \rightarrow \mathbb{R}^3$  uma curva regular. O **comprimento de arco de  $\alpha$**  é dado por

$$L_\alpha(I) = L(\alpha(I)) := \int_I \|\alpha'(t)\| dt.$$

**Definição 1.6.** Seja  $\alpha : I \subset \mathbb{R} \rightarrow \mathbb{R}^3$  uma curva regular. Dizemos que  $\alpha$  está **parametrizada pelo comprimento de arco (p.p.c.a.)** se

$$L_\alpha([t_0, t_1]) = t_1 - t_0,$$

para todos  $t_0, t_1 \in I$  tais que  $t_0 < t_1$ .

**Proposição 1.1.** Seja  $\alpha : I \subset \mathbb{R} \rightarrow \mathbb{R}^3$  uma curva regular. Então  $\alpha$  está p.p.c.a. se, e somente se,  $\|\alpha'(t_0)\| = 1$  para todo  $t_0 \in I$ .

**Proposição 1.2.** Seja  $\alpha : I \subset \mathbb{R} \rightarrow \mathbb{R}^3$  uma curva regular. Então  $\alpha$  pode ser reparametrizada pelo comprimento de arco.

Seja  $\alpha : I \subset \mathbb{R} \rightarrow \mathbb{R}^3$  uma curva regular p.p.c.a.. Denotaremos por  $\vec{t}(s) := \alpha'(s)$  o vetor tangente de  $\alpha$  no ponto  $\alpha(s)$  para todo  $s \in I$ . Como  $\alpha$  está p.p.c.a., para todo  $s \in I$  temos que

$$\begin{aligned} \|\alpha'(s)\| &= 1 \\ \|\alpha'(s)\|^2 &= 1 \\ \langle \alpha'(s), \alpha'(s) \rangle &= 1 \\ \langle \alpha''(s), \alpha'(s) \rangle + \langle \alpha'(s), \alpha''(s) \rangle &= 0 \\ \langle \alpha''(s), \alpha'(s) \rangle &= 0. \end{aligned}$$

Consequentemente,  $\alpha''(s) \perp \alpha'(s)$ .

**Definição 1.7.** Seja  $\alpha : I \subset \mathbb{R} \rightarrow \mathbb{R}^3$  uma curva regular p.p.c.a.. Definimos a **curvatura de  $\alpha$  em  $s \in I$**  como sendo o número  $\kappa(s) := \|\alpha''(s)\|$ .

Geometricamente,  $\kappa(s)$  mede o quanto uma curva se afasta de uma reta.

**Definição 1.8.** Seja  $\alpha : I \subset \mathbb{R} \rightarrow \mathbb{R}^3$  uma curva regular p.p.c.a. tal que  $\kappa(s) \neq 0$  para todo  $s \in I$ . Definimos o **normal (principal) de  $\alpha$  em  $s \in I$**  como sendo o vetor

$$\vec{n}(s) := \frac{1}{\kappa(s)} \alpha''(s).$$

Note que  $\vec{t}(s) \perp \vec{n}(s)$  para todo  $s \in I$ .

**Definição 1.9.** Seja  $\alpha : I \subset \mathbb{R} \rightarrow \mathbb{R}^3$  uma curva regular p.p.c.a. tal que  $\kappa(s) \neq 0$  para todo  $s \in I$ . Definimos o **binormal de  $\alpha$  em  $s \in I$**  como sendo o vetor

$$\vec{b}(s) := \vec{t}(s) \wedge \vec{n}(s).$$

Note que  $\{\vec{t}(s), \vec{n}(s), \vec{b}(s)\}$  é uma base ortonormal de  $\mathbb{R}^3$  centrada em  $\alpha(s)$  para cada  $s \in I$ , ou seja, um referencial móvel sobre  $\alpha$ , o qual chamamos de **triedro de Frenet-Serret**<sup>1</sup> ou **referencial de Frenet-Serret** ou **referencial TNB**.

Para todo  $s \in I$  temos que

$$\begin{aligned} \langle \vec{b}(s), \vec{b}(s) \rangle &= 1 \\ \left\langle \frac{d\vec{b}}{ds}(s), \vec{b}(s) \right\rangle &= 0, \end{aligned}$$

e

$$\begin{aligned} \langle \vec{b}(s), \vec{t}(s) \rangle &= 0 \\ \left\langle \frac{d\vec{b}}{ds}(s), \vec{t}(s) \right\rangle + \left\langle \vec{b}(s), \frac{d\vec{t}}{ds}(s) \right\rangle &= 0 \\ \left\langle \frac{d\vec{b}}{ds}(s), \vec{t}(s) \right\rangle + \kappa(s) \langle \vec{b}(s), \vec{n}(s) \rangle &= 0 \\ \left\langle \frac{d\vec{b}}{ds}(s), \vec{t}(s) \right\rangle &= 0. \end{aligned}$$

Consequentemente,

$$\frac{d\vec{b}}{ds}(s) \parallel \vec{n}(s),$$

para todo  $s \in I$ .

---

<sup>1</sup>Em homenagem aos matemáticos Jean Frédéric Frenet e Joseph Alfred Serret.

**Definição 1.10.** *Seja  $\alpha : I \subset \mathbb{R} \rightarrow \mathbb{R}^3$  uma curva regular p.p.c.a. tal que  $\kappa(s) \neq 0$  para todo  $s \in I$ . Definimos a **torção de  $\alpha$  em  $s \in I$**  como sendo o numero*

$$\tau(s) := \left\langle \frac{d\vec{b}}{ds}(s), \vec{n}(s) \right\rangle.$$

Geometricamente,  $\tau(s)$  mede o quanto a curva deixa de ser plana. Além disso, note que

$$\frac{d\vec{b}}{ds}(s) = \left\langle \frac{d\vec{b}}{ds}(s), \vec{t}(s) \right\rangle \vec{t}(s) + \left\langle \frac{d\vec{b}}{ds}(s), \vec{b}(s) \right\rangle \vec{b}(s) + \left\langle \frac{d\vec{b}}{ds}(s), \vec{n}(s) \right\rangle \vec{n}(s) = \tau(s) \vec{n}(s).$$

**Proposição 1.3** (Equações de Frenet-Serret). *Seja  $\alpha : I \subset \mathbb{R} \rightarrow \mathbb{R}^3$  uma curva regular p.p.c.a. tal que  $\kappa(s) \neq 0$  para todo  $s \in I$ . Então, para todo  $s \in I$ , valem que*

$$\begin{aligned} \frac{d\vec{t}}{ds}(s) &= 0 + \kappa(s) \vec{n}(s) + 0, \\ \frac{d\vec{n}}{ds}(s) &= -\kappa(s) \vec{t}(s) + 0 - \tau(s) \vec{b}(s), \\ \frac{d\vec{b}}{ds}(s) &= 0 + \tau(s) \vec{n}(s) + 0. \end{aligned}$$

Ou ainda, matricialmente,

$$\begin{pmatrix} \vec{t}' \\ \vec{n}' \\ \vec{b}' \end{pmatrix} = \begin{pmatrix} 0 & \kappa & 0 \\ -\kappa & 0 & -\tau \\ 0 & \tau & 0 \end{pmatrix} \begin{pmatrix} \vec{t} \\ \vec{n} \\ \vec{b} \end{pmatrix}.$$

**Teorema 1.1** (Teorema fundamental da teoria local de curvas). *Dadas duas funções  $\kappa, \tau : I \subset \mathbb{R} \rightarrow \mathbb{R}$  tais que  $\kappa(s) > 0$  para todo  $s \in I$ , então existe uma curva  $\alpha : I \subset \mathbb{R} \rightarrow \mathbb{R}^3$  cuja curvatura é  $\kappa(s)$  e cuja torção é  $\tau(s)$ . Além disso, qualquer outra curva com a mesma propriedade é congruente a  $\alpha$ .*

**Definição 1.11.** *Um subconjunto  $S \subset \mathbb{R}^3$  é uma **superfície regular** se, para cada  $p \in S$ , existe uma vizinhança  $V$  de  $p$  em  $\mathbb{R}^3$  e uma aplicação  $X : U \rightarrow V \cap S$  de um aberto  $U$  de  $\mathbb{R}^2$  sobre  $V \cap S \subset \mathbb{R}^3$  tal que*

- (1)  $X$  é um homeomorfismo diferenciável.
- (2) A diferencial  $dX_q : \mathbb{R}^2 \rightarrow \mathbb{R}^3$  é injetiva para todo  $q \in U$ .

**Proposição 1.4** (Mudança de parâmetros). *Sejam  $p \in S$  um ponto de uma superfície regular  $S$ ,  $X_1 : U \subset \mathbb{R}^2 \rightarrow S$  e  $X_2 : V \subset \mathbb{R}^2 \rightarrow S$  duas parametrizações de  $S$  tais que  $p \in X_1(U) \cap X_2(V) =: W$ . Então*

$$h := X_1^{-1} \circ X_2 : X_2^{-1}(W) \rightarrow X_1^{-1}(W)$$

é um difeomorfismo, isto é,  $h$  é diferenciável e tem inversa diferenciável.

Sejam  $X : U \subset \mathbb{R}^2 \rightarrow \mathbb{R}^3$  uma parametrização de uma superfície regular  $S$  e  $q \in U$ . Chamamos o subespaço vetorial de dimensão 2

$$T_{X(q)}S := dX_q(\mathbb{R}^2) \subset \mathbb{R}^3,$$

de **espaço tangente a  $S$  em  $X(q)$** . Este espaço vetorial coincide com o conjunto dos vetores tangentes  $\alpha'(0)$  de curvas parametrizadas diferenciáveis  $\alpha : ]-\varepsilon, \varepsilon[ \rightarrow S$ , com  $\alpha(0) = X(q)$ .

A escolha de uma parametrização  $X$  determina uma base

$$\{dX_q(u), dX_q(v)\} = \left\{ \frac{\partial X}{\partial u}(q), \frac{\partial X}{\partial v}(q) \right\} =: \{X_u(q), X_v(q)\}$$

de  $T_{X(q)}S$  e um vetor normal unitário em cada ponto  $p \in X(U)$  dado por

$$N(p) := \frac{X_u \wedge X_v}{\|X_u \wedge X_v\|}(q).$$

Nem sempre é possível estender a aplicação diferenciável  $N : U \rightarrow \mathbb{R}^3$  de maneira diferenciável à superfície  $S$ .

O produto interno canônico do  $\mathbb{R}^3$  induz em cada plano tangente  $T_p S$  de uma superfície regular  $S$  um produto interno, que denotaremos por  $\langle \cdot, \cdot \rangle_p$ . A esse produto interno, que é uma forma bilinear simétrica, corresponde uma forma quadrática  $I_p : T_p S \rightarrow \mathbb{R}$  dada por

$$I_p(w) := \langle w, w \rangle_p = \|w\|_p^2 \geq 0.$$

Tal forma quadrática em  $T_p S$  é chamada de **primeira forma fundamental de  $S$  em  $p \in S$** .

Vamos, agora, expressar a primeira forma fundamental na base  $\{X_u, X_v\}$  associada a parametrização  $X(u, v)$  em  $p$ . Como um vetor  $w \in T_p S$  é o vetor tangente a uma curva parametrizada  $\alpha(t) = X(u(t), v(t))$ ,  $t \in ]-\varepsilon, \varepsilon[$ , com  $p = \alpha(0)$ , obtemos

$$\begin{aligned} I_p(w) &= I_p(\alpha'(0)) \\ &= \langle \alpha'(0), \alpha'(0) \rangle_p \\ &= \langle X_u(u(0), v(0))u'(0) + X_v(u(0), v(0))v'(0), X_u(u(0), v(0))u'(0) + X_v(u(0), v(0))v'(0) \rangle_p \\ &= \langle X_u(q), X_u(q) \rangle_p (u'(0))^2 + 2\langle X_u(q), X_v(q) \rangle_p u'(0)v'(0) + \langle X_v(q), X_v(q) \rangle_p (v'(0))^2 \\ &= E(q) (u'(0))^2 + 2F(q)u'(0)v'(0) + G(q) (v'(0))^2, \end{aligned}$$

onde

$$\begin{cases} E(q) := \langle X_u(q), X_u(q) \rangle_p, \\ F(q) := \langle X_u(q), X_v(q) \rangle_p, \\ G(q) := \langle X_v(q), X_v(q) \rangle_p \end{cases}$$

são os **coeficientes da primeira forma fundamental na base  $\{X_u, X_v\}$  de  $T_p S$** . Fazendo  $q$  variar numa vizinhança coordenada correspondente à parametrização  $X$ , obtemos funções  $E, F, G$  que são diferenciáveis nesta vizinhança. Quando não houver ambiguidade, os índices  $p$  e  $q$  serão omitidos.

Assim, podemos representar a primeira forma fundamental como uma matriz simétrica

$$I(w) = w^\top \begin{pmatrix} E & F \\ F & G \end{pmatrix} w = (u'(0)v'(0)) \begin{pmatrix} E(q) & F(q) \\ F(q) & G(q) \end{pmatrix} \begin{pmatrix} u'(0) \\ v'(0) \end{pmatrix}.$$

**Definição 1.12.** Uma superfície  $S$  é **orientável** se ela admite uma cobertura por vizinhanças coordenadas  $X_\alpha(U_\alpha)$ , em que  $X_\alpha : U_\alpha \rightarrow S$ , de tal modo que se  $p \in X_{\alpha_1}(U_{\alpha_1}) \cap X_{\alpha_2}(U_{\alpha_2})$ , com  $(u, v) \in U_{\alpha_1}$  e  $(\bar{u}, \bar{v}) \in U_{\alpha_2}$ , então

$$\text{Jac}((\bar{u}, \bar{v}) \mapsto (u, v)) = \frac{\partial(\bar{u}, \bar{v})}{\partial(u, v)} = \det \begin{pmatrix} \frac{\partial \bar{u}}{\partial u} & \frac{\partial \bar{u}}{\partial v} \\ \frac{\partial \bar{v}}{\partial u} & \frac{\partial \bar{v}}{\partial v} \end{pmatrix} > 0.$$

A escolha de uma tal família de vizinhanças coordenadas que cobrem  $S$  é chamada de **orientação** de  $S$  e  $S$ , neste caso, diz-se **orientada**. Se uma tal escolha não é possível, diz-se que  $S$  é **não-orientável**. Se  $S$  é orientada, uma parametrização local  $X$  é compatível com a orientação de  $S$  se, unindo  $X$  à família de parametrizações dada pela orientação, obtém-se ainda uma (logo, a mesma) orientação.

**Proposição 1.5.** Uma superfície regular  $S \subset \mathbb{R}^3$  é orientável se, e somente se, existe um campo diferenciável  $N : S \rightarrow \mathbb{R}^3$  de vetores normais em  $S$ , isto é,  $N(p) \perp T_p S$  para todo  $p \in S$ .

**1.2. A faixa de Möbius.** A faixa de Möbius<sup>2</sup> é obtida tomando-se um retângulo e identificando-se dois lados opostos depois de uma rotação de  $180^\circ$ , como ilustra a Figura 1.

<sup>2</sup>Em homenagem ao matemático August Ferdinand Möbius.

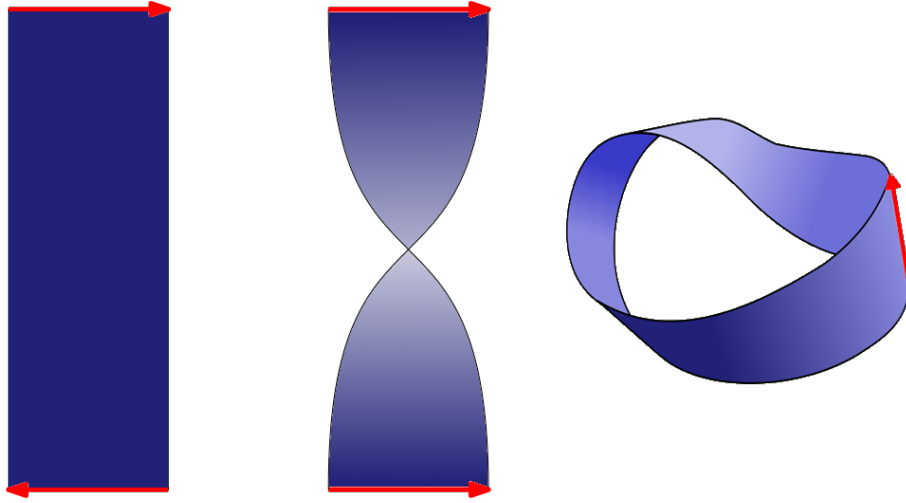


FIGURA 1. Construção de uma faixa de Möbius.

A faixa de Möbius, além de suas inúmeras aplicações artísticas, como em logotipos de centros de estudo de matemática em todo o mundo, também encontra frequentemente uso na engenharia, especialmente na produção de correias que desgastam “ambos” os lados igualmente.

A seguir, apresentaremos uma parametrização da faixa de Möbius e calcularemos os coeficientes de sua primeira forma fundamental.

1.2.1. *Parametrização.* Considere a faixa de Möbius, denotada por  $\mathbf{M}$ , ao redor do eixo  $z$  com raio 2 e largura 1. Sejam  $(u, v) \in ]0, 2\pi[ \times [-1, 1]$  e note que para  $p = (x, y, z) \in \mathbf{M}$  temos que

$$\begin{cases} x(u, v) &= \left(2 + v \cos\left(\frac{u}{2}\right)\right) \cos(u) \\ y(u, v) &= \left(2 + v \cos\left(\frac{u}{2}\right)\right) \sin(u) \\ z(u, v) &= v \sin\left(\frac{u}{2}\right). \end{cases}$$

A Figura 2 auxilia a entender as equações acima. Note que cada ponto do segmento que rotacionamos identificamos com um valor de  $v \in [-1, 1]$  e esta é uma variável da parametrização, que segue a mesma ideia do Toro.

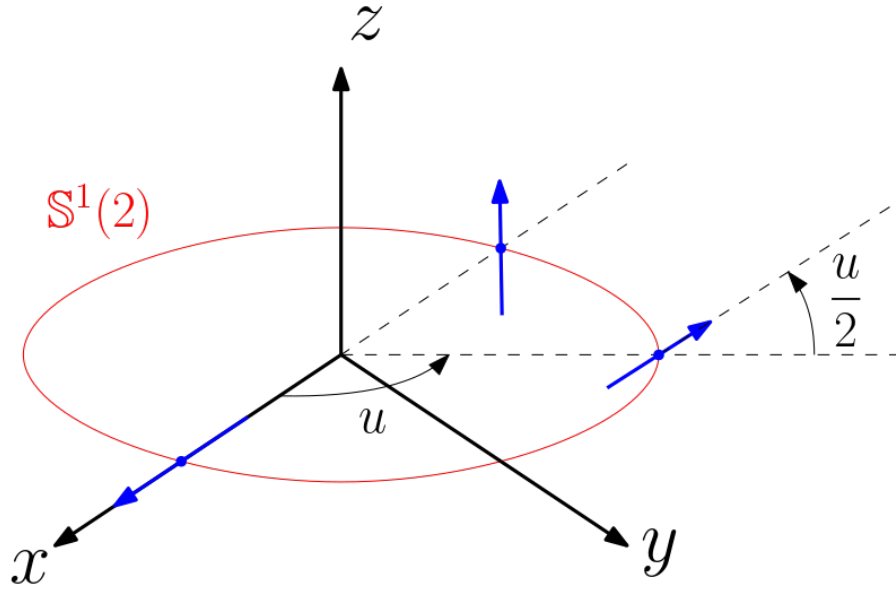
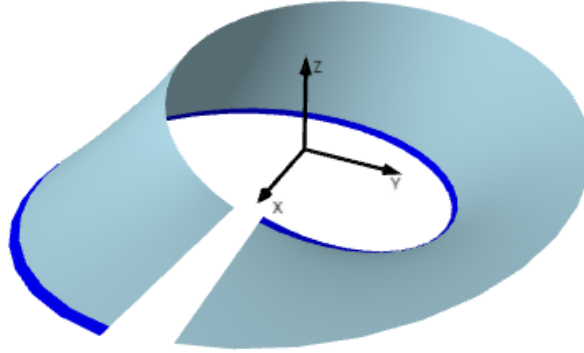


FIGURA 2. Facilitador para a parametrização da faixa de Möbius.

Portanto, um sistema de coordenadas locais para a faixa de Möbius é dado por

$$\begin{aligned} X : ]0, 2\pi[ \times [-1, 1] &\subset \mathbb{R}^2 \rightarrow \mathbf{M} \subset \mathbb{R}^3 \\ (u, v) &\mapsto (x(u, v), y(u, v), z(u, v)). \end{aligned}$$

A vizinhança coordenada correspondente omite os pontos  $u = 0$ , como ilustra a Figura 3.

FIGURA 3. Plot de  $X$ .

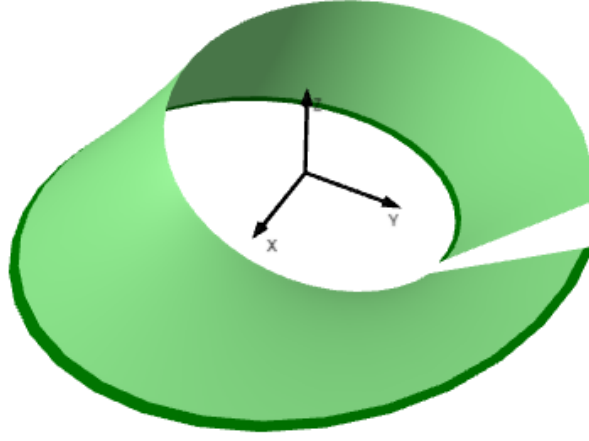
Logo, tomando-se  $(\bar{u}, \bar{v}) \in ]0, 2\pi[ \times [-1, 1]$  de modo que

$$\begin{cases} x(\bar{u}, \bar{v}) &= \left( 2 + \bar{v} \cos \left( \frac{\bar{u}}{2} + \frac{\pi}{4} \right) \right) \cos \left( \bar{u} + \frac{\pi}{2} \right) \\ y(\bar{u}, \bar{v}) &= \left( 2 + \bar{v} \cos \left( \frac{\bar{u}}{2} + \frac{\pi}{4} \right) \right) \sin \left( \bar{u} + \frac{\pi}{2} \right) \\ z(\bar{u}, \bar{v}) &= \bar{v} \sin \left( \frac{\bar{u}}{2} + \frac{\pi}{4} \right) \end{cases}$$

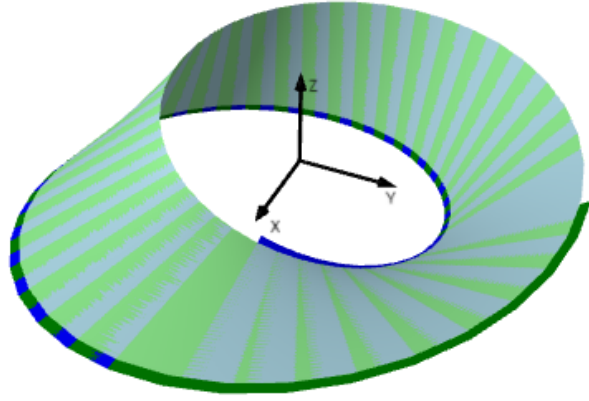
obtemos outro sistema de coordenadas locais para a faixa de Möbius é dado por

$$\begin{aligned} \bar{X} : ]0, 2\pi[ \times [-1, 1] &\subset \mathbb{R}^2 \rightarrow \mathbf{M} \subset \mathbb{R}^3 \\ (\bar{u}, \bar{v}) &\mapsto (x(\bar{u}, \bar{v}), y(\bar{u}, \bar{v}), z(\bar{u}, \bar{v})). \end{aligned}$$

A vizinhança coordenada correspondente omite os pontos no intervalo aberto  $u = 0$ , como ilustra a Figura 4.

FIGURA 4. Plot de  $\overline{X}$ .

Essas duas vizinhanças coordenadas formam uma cobertura para a faixa de Möbius, como ilustra a Figura 5.

FIGURA 5. Plot de  $X$  e  $\overline{X}$  juntos.

Assim, temos que a faixa de Möbius é uma superfície regular. De fato, a intersecção dessas duas vizinhanças coordenadas é constituída por duas componentes conexas

$$W_1 := \left\{ X(u, v) : 0 < u < \frac{\pi}{2}, -1 \leq v \leq 1 \right\} \text{ e } W_2 := \left\{ X(u, v) : \frac{\pi}{2} < u < 2\pi, -1 \leq v \leq 1 \right\}.$$

A mudança de coordenada é dada por (a Figura 5 ilustra a mudança de orientação de  $v$  em  $W_1$  pela sobreposição ou não das partes mais escuras)

$$\begin{cases} \overline{u} = u + \frac{\pi}{2} \\ \overline{v} = -v \end{cases} \text{ em } W_1 \text{ e } \begin{cases} \overline{u} = u + \frac{\pi}{2} \\ \overline{v} = v \end{cases} \text{ em } W_2.$$

Donde temos que

$$\text{Jac}((\overline{u}, \overline{v}) \mapsto (u, v)) = \frac{\partial(\overline{u}, \overline{v})}{\partial(u, v)} = \det \begin{pmatrix} \frac{\partial \overline{u}}{\partial u} & \frac{\partial \overline{u}}{\partial v} \\ \frac{\partial \overline{v}}{\partial u} & \frac{\partial \overline{v}}{\partial v} \end{pmatrix} = \det \begin{pmatrix} 1 & 0 \\ 0 & -1 \end{pmatrix} = -1$$

em  $W_1$ , e

$$\text{Jac}((\overline{u}, \overline{v}) \mapsto (u, v)) = \frac{\partial(\overline{u}, \overline{v})}{\partial(u, v)} = \det \begin{pmatrix} \frac{\partial \overline{u}}{\partial u} & \frac{\partial \overline{u}}{\partial v} \\ \frac{\partial \overline{v}}{\partial u} & \frac{\partial \overline{v}}{\partial v} \end{pmatrix} = \det \begin{pmatrix} 1 & 0 \\ 0 & 1 \end{pmatrix} = 1$$

em  $W_2$ .



1.2.2. *Primeira forma fundamental.* Para obtermos a primeira forma fundamental basta calcularmos as expressões de  $E, F, G$  da métrica pelas expressões em coordenadas obtidas anteriormente.

Derivamos  $x(u, v)$  com relação a  $u$

$$\begin{aligned} x_u(u, v) &= \frac{\partial}{\partial u} \left( 2 + v \cos \left( \frac{u}{2} \right) \right) \cos(u) + \left( 2 + v \cos \left( \frac{u}{2} \right) \right) \frac{\partial}{\partial u} (\cos(u)) \\ &= -\frac{v}{2} \sin \left( \frac{u}{2} \right) \cos(u) - \left( 2 + v \cos \left( \frac{u}{2} \right) \right) \sin(u), \end{aligned}$$

e com relação a  $v$

$$\begin{aligned} x_v(u, v) &= \frac{\partial}{\partial v} \left( 2 + v \cos \left( \frac{u}{2} \right) \right) \cos(u) + \left( 2 + v \cos \left( \frac{u}{2} \right) \right) \frac{\partial}{\partial v} (\cos(u)) \\ &= \cos \left( \frac{u}{2} \right) \cos(u). \end{aligned}$$

Derivamos  $y(u, v)$  com relação a  $u$

$$\begin{aligned} y_u(u, v) &= \frac{\partial}{\partial u} \left( 2 + v \cos \left( \frac{u}{2} \right) \right) \sin(u) + \left( 2 + v \cos \left( \frac{u}{2} \right) \right) \frac{\partial}{\partial u} (\sin(u)) \\ &= -\frac{v}{2} \sin \left( \frac{u}{2} \right) \sin(u) + \left( 2 + v \cos \left( \frac{u}{2} \right) \right) \cos(u), \end{aligned}$$

e com relação a  $v$

$$\begin{aligned} y_v(u, v) &= \frac{\partial}{\partial v} \left( 2 + v \cos \left( \frac{u}{2} \right) \right) \sin(u) + \left( 2 + v \cos \left( \frac{u}{2} \right) \right) \frac{\partial}{\partial v} (\sin(u)) \\ &= \cos \left( \frac{u}{2} \right) \sin(u). \end{aligned}$$

Derivamos  $z(u, v)$  com relação a  $u$

$$z_u(u, v) = \frac{\partial}{\partial u} \left( v \sin \left( \frac{u}{2} \right) \right) = \frac{v}{2} \cos \left( \frac{u}{2} \right),$$

e com relação a  $v$

$$z_v(u, v) = \frac{\partial}{\partial v} \left( v \sin \left( \frac{u}{2} \right) \right) = \sin \left( \frac{u}{2} \right).$$

Logo,

$$\begin{aligned} E &= \langle X_u, X_u \rangle \\ &= \langle (x_u, y_u, z_u), (x_u, y_u, z_u) \rangle \\ &= x_u^2 + y_u^2 + z_u^2 \\ &= \left( -\frac{v}{2} \sin \left( \frac{u}{2} \right) \cos(u) - \left( 2 + v \cos \left( \frac{u}{2} \right) \right) \sin(u) \right)^2 \\ &\quad + \left( -\frac{v}{2} \sin \left( \frac{u}{2} \right) \sin(u) + \left( 2 + v \cos \left( \frac{u}{2} \right) \right) \cos(u) \right)^2 \\ &\quad + \left( \frac{v}{2} \cos \left( \frac{u}{2} \right) \right)^2 \\ &= \frac{v^2}{4} \sin^2 \left( \frac{u}{2} \right) \cos^2(u) + \left( 2 + v \cos \left( \frac{u}{2} \right) \right)^2 \sin^2(u) + 2 \frac{v}{2} \sin \left( \frac{u}{2} \right) \cos(u) \left( 2 + v \cos \left( \frac{u}{2} \right) \right) \sin(u) \\ &\quad + \frac{v^2}{4} \sin^2 \left( \frac{u}{2} \right) \sin^2(u) + \left( 2 + v \cos \left( \frac{u}{2} \right) \right)^2 \cos^2(u) - 2 \frac{v}{2} \sin \left( \frac{u}{2} \right) \sin(u) \left( 2 + v \cos \left( \frac{u}{2} \right) \right) \cos(u) \\ &\quad + \frac{v^2}{4} \cos^2 \left( \frac{u}{2} \right) \\ &= \frac{v^2}{4} \sin^2 \left( \frac{u}{2} \right) + \left( 2 + v \cos \left( \frac{u}{2} \right) \right)^2 + \frac{v^2}{4} \cos^2 \left( \frac{u}{2} \right) \\ &= \frac{v^2}{4} + 4 + v^2 \cos^2 \left( \frac{u}{2} \right) + 4v \cos \left( \frac{u}{2} \right) \\ &= v^2 \left( \frac{1}{4} + \cos^2 \left( \frac{u}{2} \right) \right) + 4v \cos \left( \frac{u}{2} \right) + 4. \end{aligned}$$

$$\begin{aligned}
F &= \langle X_u, X_v \rangle \\
&= \langle (x_u, y_u, z_u), (x_v, y_v, z_v) \rangle \\
&= x_u x_v + y_u y_v + z_u z_v \\
&= \left( -\frac{v}{2} \sin\left(\frac{u}{2}\right) \cos(u) - \left(2 + v \cos\left(\frac{u}{2}\right)\right) \sin(u) \right) \left( \cos\left(\frac{u}{2}\right) \cos(u) \right) \\
&\quad + \left( -\frac{v}{2} \sin\left(\frac{u}{2}\right) \sin(u) + \left(2 + v \cos\left(\frac{u}{2}\right)\right) \cos(u) \right) \left( \cos\left(\frac{u}{2}\right) \sin(u) \right) \\
&\quad + \left( \frac{v}{2} \cos\left(\frac{u}{2}\right) \right) \left( \sin\left(\frac{u}{2}\right) \right) \\
&= -\frac{v}{2} \sin\left(\frac{u}{2}\right) \cos\left(\frac{u}{2}\right) \cos^2(u) - \left(2 + v \cos\left(\frac{u}{2}\right)\right) \sin(u) \cos\left(\frac{u}{2}\right) \cos(u) \\
&\quad - \frac{v}{2} \sin\left(\frac{u}{2}\right) \cos\left(\frac{u}{2}\right) \sin^2(u) + \left(2 + v \cos\left(\frac{u}{2}\right)\right) \cos(u) \cos\left(\frac{u}{2}\right) \sin(u) \\
&\quad + \frac{v}{2} \sin\left(\frac{u}{2}\right) \cos\left(\frac{u}{2}\right) \\
&= -\frac{v}{2} \sin\left(\frac{u}{2}\right) \cos\left(\frac{u}{2}\right) + \frac{v}{2} \sin\left(\frac{u}{2}\right) \cos\left(\frac{u}{2}\right) \\
&= 0.
\end{aligned}$$

$$\begin{aligned}
G &= \langle X_v, X_v \rangle \\
&= \langle (x_v, y_v, z_v), (x_v, y_v, z_v) \rangle \\
&= x_v^2 + y_v^2 + z_v^2 \\
&= \left( \cos\left(\frac{u}{2}\right) \cos(u) \right)^2 + \left( \cos\left(\frac{u}{2}\right) \sin(u) \right)^2 + \left( \sin\left(\frac{u}{2}\right) \right)^2 \\
&= \cos^2\left(\frac{u}{2}\right) \cos^2(u) + \cos^2\left(\frac{u}{2}\right) \sin^2(u) + \sin^2\left(\frac{u}{2}\right) \\
&= \cos^2\left(\frac{u}{2}\right) + \sin^2\left(\frac{u}{2}\right) \\
&= 1.
\end{aligned}$$

Donde obtemos a primeira forma fundamental

$$I = \begin{pmatrix} v^2 \left( \frac{1}{4} + \cos^2\left(\frac{u}{2}\right) \right) + 4v \cos\left(\frac{u}{2}\right) + 4 & 0 \\ 0 & 1 \end{pmatrix}.$$

**1.3. Um panorama de geometria diferencial II através do SageMath.** Próximos passos:

- Orientabilidade.
- Segunda forma fundamental e consequências geométricas.
- Aplicação normal de Gauss.
- Operador forma, curvatura Gaussiana, média e total.
- Derivada covariante.
- Símbolos de Christoffel<sup>3</sup>.
- Geodésicas e curvatura geodésica.
- Equações de compatibilidade.
- Teorema egrégio de Gauss.
- Teorema de Bonnet.
- Superfícies mínimas.
- Teorema de Gauss-Bonnet e aplicações.

---

<sup>3</sup>Em homenagem ao matemático e físico Elwin Bruno Christoffel.

Apresentar Notebook do SageManifolds com exemplos de cálculos simples (métricas, curvaturas, símbolos de Christoffel, plotagens,...).

## 2. AULA DO DIA 20/09/2023

Objetivos da aula:

- Orientabilidade (aproximadamente 20 minutos)
- O gradiente (aproximadamente 10 minutos)
- A segunda forma fundamental e algumas consequências geométricas (aproximadamente 30 minutos)
- A curvatura normal (aproximadamente 10 minutos)
- Pausa de 10 minutos
- Exemplos (aproximadamente 30 minutos)
- Acabar 10 minutos antes

Tempo de aula (expectativa): 120 minutos.

**2.1. Orientabilidade.** A seguir apresentaremos alguns exemplos de superfícies orientáveis:

**Exemplo 2.1.** *Superfícies que podem ser cobertas por uma única vizinhança coordenada são trivialmente orientáveis. Por exemplo, superfícies dadas como gráficos de uma função diferenciável.*

**Exemplo 2.2** (Esfera unitária ( $\mathbb{S}^2$ )). *Considere  $X_1(u, v)$  a projeção estereográfica pelo polo norte,  $X_2(u, v)$  a projeção estereográfica pelo polo sul e*

$$W := X_1(\mathbb{R}^2) \cap X_2(\mathbb{R}^2) = \mathbb{S}^2 \setminus \{N := (0, 0, 2), S := (0, 0, 0)\}.$$

*Note que  $W$  é um conjunto conexo e fixe  $p \in W$ . A Figura 6 ilustra a mudança de parâmetros entre as duas parametrizações da esfera.*

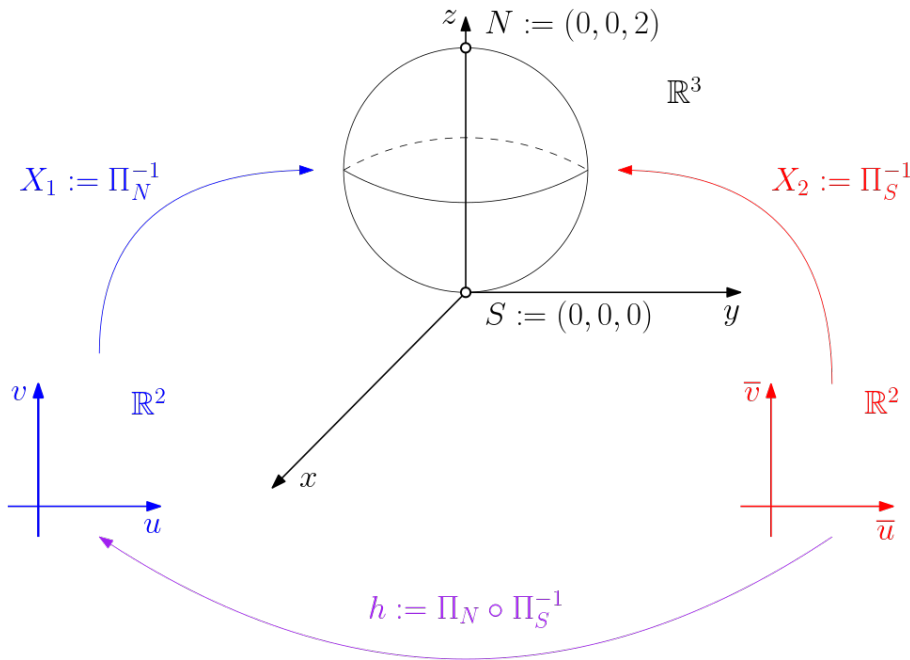


FIGURA 6. O mapa de transição para as parametrizações estereográficas.

Onde

$$\Pi_N^{-1}(u, v) := \left( \frac{4u}{u^2 + v^2 + 4}, \frac{4v}{u^2 + v^2 + 4}, \frac{2(u^2 + v^2)}{u^2 + v^2 + 4} \right),$$

e

$$\Pi_S^{-1}(\bar{u}, \bar{v}) := \left( \frac{4\bar{v}}{\bar{u}^2 + \bar{v}^2 + 4}, \frac{4\bar{u}}{\bar{u}^2 + \bar{v}^2 + 4}, \frac{8}{\bar{u}^2 + \bar{v}^2 + 4} \right).$$

Consequentemente,

$$\Pi_N(x, y, z) = \left( \frac{2x}{2-z}, \frac{2y}{2-z} \right).$$

Portanto,

$$\begin{aligned} (u, v) = h(\bar{u}, \bar{v}) &= (\Pi_N \circ \Pi_S^{-1})(\bar{u}, \bar{v}) \\ &= \Pi_N \left( \frac{4\bar{v}}{\bar{u}^2 + \bar{v}^2 + 4}, \frac{4\bar{u}}{\bar{u}^2 + \bar{v}^2 + 4}, \frac{8}{\bar{u}^2 + \bar{v}^2 + 4} \right) \\ &= \left( \frac{\frac{8\bar{v}}{\bar{u}^2 + \bar{v}^2 + 4}}{2 - \frac{8}{\bar{u}^2 + \bar{v}^2 + 4}}, \frac{\frac{8\bar{u}}{\bar{u}^2 + \bar{v}^2 + 4}}{2 - \frac{8}{\bar{u}^2 + \bar{v}^2 + 4}} \right) \\ &= \left( \frac{8\bar{v}}{2(\bar{u}^2 + \bar{v}^2)}, \frac{8\bar{u}}{2(\bar{u}^2 + \bar{v}^2)} \right) \\ &= \left( \frac{4\bar{v}}{\bar{u}^2 + \bar{v}^2}, \frac{4\bar{u}}{\bar{u}^2 + \bar{v}^2} \right). \end{aligned}$$

Donde obtemos:

$$\begin{aligned} \frac{\partial u}{\partial \bar{u}} &= -\frac{8\bar{v}\bar{u}}{(\bar{u}^2 + \bar{v}^2)^2}. \\ \frac{\partial u}{\partial \bar{v}} &= \frac{4(\bar{u}^2 + \bar{v}^2) - 4\bar{v}2\bar{v}}{(\bar{u}^2 + \bar{v}^2)^2} = \frac{4(\bar{u}^2 - \bar{v}^2)}{(\bar{u}^2 + \bar{v}^2)^2} \\ \frac{\partial v}{\partial \bar{v}} &= -\frac{8\bar{u}\bar{v}}{(\bar{u}^2 + \bar{v}^2)^2} \\ \frac{\partial v}{\partial \bar{u}} &= \frac{4(\bar{u}^2 + \bar{v}^2) - 4\bar{u}2\bar{u}}{(\bar{u}^2 + \bar{v}^2)^2} = \frac{4(\bar{v}^2 - \bar{u}^2)}{(\bar{u}^2 + \bar{v}^2)^2} = -\frac{4(\bar{u}^2 - \bar{v}^2)}{(\bar{u}^2 + \bar{v}^2)^2} \end{aligned}$$

Logo,

$$\begin{aligned} \frac{\partial(u, v)}{\partial(\bar{u}, \bar{v})} &= \det \begin{pmatrix} \frac{\partial u}{\partial \bar{u}} & \frac{\partial u}{\partial \bar{v}} \\ \frac{\partial v}{\partial \bar{u}} & \frac{\partial v}{\partial \bar{v}} \end{pmatrix} \\ &= \frac{1}{(\bar{u}^2 + \bar{v}^2)^4} \det \begin{pmatrix} -8\bar{u}\bar{v} & 4(\bar{u}^2 - \bar{v}^2) \\ -4(\bar{u}^2 - \bar{v}^2) & -8\bar{u}\bar{v} \end{pmatrix} \\ &= \frac{64\bar{u}^2\bar{v}^2 + 16(\bar{u}^2 - \bar{v}^2)^2}{(\bar{u}^2 + \bar{v}^2)^4} \\ &> 0 \end{aligned}$$

Como a função de transição  $h(\bar{u}, \bar{v})$  é um difeomorfismo temos que  $\frac{\partial(u, v)}{\partial(\bar{u}, \bar{v})}$  é diferente de zero em  $W$ . Além disso, como o Jacobiano  $\frac{\partial(u, v)}{\partial(\bar{u}, \bar{v})}$  é uma função contínua,  $\frac{\partial(u, v)}{\partial(\bar{u}, \bar{v})}(p) > 0$  e  $W$  é conexo, segue do Teorema de Bolzano que  $\frac{\partial(u, v)}{\partial(\bar{u}, \bar{v})} > 0$  em  $W$ . Portanto,  $S$  é orientável. De modo análogo, se uma superfície pode ser coberta por duas vizinhanças coordenadas cuja intersecção é conexa, então a superfície é orientável.

**Proposição 2.1.** Uma superfície regular  $S \subset \mathbb{R}^3$  é orientável se, e somente se, existe um campo diferenciável  $N : S \rightarrow \mathbb{R}^3$  de vetores normais em  $S$ , isto é,  $N(p) \perp T_p S$  para todo  $p \in S$ .

*Demonstração.* ( $\implies$ ) : Como  $S$  é orientável, podemos cobri-la com uma família de vizinhanças coordenadas de tal modo que, na vizinhança de duas quaisquer delas, a mudança de coordenadas tenha Jacobiano positivo.

Nos pontos  $p = X(u, v)$  de cada vizinhança coordenada, definimos:

$$N(p) := N(u, v) = \frac{X_u \wedge X_v}{\|X_u \wedge X_v\|}(p).$$

Note que  $N(p)$  está bem definido. De fato, sejam  $X : U \rightarrow S$  e  $\bar{X} : \bar{U} \rightarrow S$  duas parametrizações tais que  $X(U) \cap \bar{X}(\bar{U}) =: W \neq \emptyset$  e  $h : U \rightarrow \bar{U}$  tal que  $h(u, v) = (\bar{u}, \bar{v})$ . Assim,  $X = \bar{X} \circ h$  e, conseqüentemente,

$$X_u = \frac{\partial X}{\partial u} = \frac{\partial(\bar{X} \circ h)}{\partial u} = \frac{\partial \bar{X}}{\partial \bar{u}} \frac{\partial \bar{u}}{\partial u} + \frac{\partial \bar{X}}{\partial \bar{v}} \frac{\partial \bar{v}}{\partial u} = \frac{\partial \bar{u}}{\partial u} \bar{X}_{\bar{u}} + \frac{\partial \bar{v}}{\partial u} \bar{X}_{\bar{v}}.$$

e

$$X_v = \frac{\partial X}{\partial v} = \frac{\partial(\bar{X} \circ h)}{\partial v} = \frac{\partial \bar{X}}{\partial \bar{u}} \frac{\partial \bar{u}}{\partial v} + \frac{\partial \bar{X}}{\partial \bar{v}} \frac{\partial \bar{v}}{\partial v} = \frac{\partial \bar{u}}{\partial v} \bar{X}_{\bar{u}} + \frac{\partial \bar{v}}{\partial v} \bar{X}_{\bar{v}}.$$

Logo,

$$\begin{aligned} X_u \wedge X_v &= \left( \frac{\partial \bar{u}}{\partial u} \bar{X}_{\bar{u}} + \frac{\partial \bar{v}}{\partial u} \bar{X}_{\bar{v}} \right) \wedge \left( \frac{\partial \bar{u}}{\partial v} \bar{X}_{\bar{u}} + \frac{\partial \bar{v}}{\partial v} \bar{X}_{\bar{v}} \right) \\ &= \frac{\partial \bar{u}}{\partial u} \frac{\partial \bar{v}}{\partial v} \bar{X}_{\bar{u}} \wedge \bar{X}_{\bar{v}} + \frac{\partial \bar{v}}{\partial u} \frac{\partial \bar{u}}{\partial v} \bar{X}_{\bar{v}} \wedge \bar{X}_{\bar{u}} \\ &= \left( \frac{\partial \bar{u}}{\partial u} \frac{\partial \bar{v}}{\partial v} - \frac{\partial \bar{v}}{\partial u} \frac{\partial \bar{u}}{\partial v} \right) \bar{X}_{\bar{u}} \wedge \bar{X}_{\bar{v}} \\ &= \det \begin{pmatrix} \frac{\partial \bar{u}}{\partial u} & \frac{\partial \bar{u}}{\partial v} \\ \frac{\partial \bar{v}}{\partial u} & \frac{\partial \bar{v}}{\partial v} \end{pmatrix} \bar{X}_{\bar{u}} \wedge \bar{X}_{\bar{v}} \\ &= \frac{\partial(\bar{u}, \bar{v})}{\partial(u, v)} \bar{X}_{\bar{u}} \wedge \bar{X}_{\bar{v}}. \end{aligned}$$

Portanto, para  $p \in W$  arbitrário, temos que os vetores  $N(u, v)$  e  $N(\bar{u}, \bar{v})$  coincidem, pois

$$\begin{aligned} N(u, v) &= \frac{X_u \wedge X_v}{\|X_u \wedge X_v\|} \\ &= \frac{\text{Jac}(h) \bar{X}_{\bar{u}} \wedge \bar{X}_{\bar{v}}}{\|\text{Jac}(h) \bar{X}_{\bar{u}} \wedge \bar{X}_{\bar{v}}\|} \\ &= \frac{\frac{\partial(\bar{u}, \bar{v})}{\partial(u, v)} \bar{X}_{\bar{u}} \wedge \bar{X}_{\bar{v}}}{\left| \frac{\partial(\bar{u}, \bar{v})}{\partial(u, v)} \right| \|\bar{X}_{\bar{u}} \wedge \bar{X}_{\bar{v}}\|} \\ &= \text{sign} \left( \frac{\partial(\bar{u}, \bar{v})}{\partial(u, v)} \right) N(\bar{u}, \bar{v}) \\ &= N(\bar{u}, \bar{v}). \end{aligned}$$

Além disso, as coordenadas de  $N(u, v)$  em  $\mathbb{R}^3$  são funções diferenciáveis de  $(u, v)$  e, portanto, a aplicação  $N : S \rightarrow \mathbb{R}^3$  é diferenciável. Por construção  $N(p) \perp T_p S$  para todo  $p \in S$ .

( $\Leftarrow$ ) : Reciprocamente, seja  $N : S \rightarrow \mathbb{R}^3$  um campo diferenciável unitário de vetores normais em  $S$ , e considere uma família de vizinhanças coordenadas cobrindo  $S$ . Para os pontos  $p \in X(u, v)$  de cada vizinhança coordenada  $X(U)$ ,  $U \subset \mathbb{R}^2$ , é possível, pela continuidade de  $N$  e, se necessário, intercambiar  $u$  e  $v$ , fazer com que

$$N(u, v) = \frac{X_u \wedge X_v}{\|X_u \wedge X_v\|}.$$

De fato, como  $\|N(p)\| = 1$ ,  $\left\| \frac{X_u \wedge X_v}{\|X_u \wedge X_v\|} \right\| = 1$ ,  $N(p) \perp T_p S$  e  $\frac{X_u \wedge X_v}{\|X_u \wedge X_v\|} \perp T_p S$ , temos que

$$f(p) := \left\langle N(p), \frac{X_u \wedge X_v}{\|X_u \wedge X_v\|} \right\rangle = \pm 1.$$

Como  $f(p)$  é uma função contínua em  $X(U)$  e  $X(U)$  é um conjunto conexo, então o sinal de  $f$  é constante em  $X(U)$ . Se  $f(p) = -1$ , podemos intercambiar o  $u, v$  na parametrização, e então  $f(p) = 1$ .

Procedendo desse modo com todas as vizinhanças coordenadas, teremos que na intersecção de duas quaisquer delas, digamos  $X(u, v)$  e  $\bar{X}(\bar{u}, \bar{v})$  o Jacobiano  $\frac{\partial(u, v)}{\partial(\bar{u}, \bar{v})}$  é positivo.

De fato, suponha por absurdo que  $\frac{\partial(u, v)}{\partial(\bar{u}, \bar{v})} < 0$ . Logo,

$$\begin{aligned} N(u, v) &= \frac{X_u \wedge X_v}{\|X_u \wedge X_v\|} \\ &= \frac{\frac{\partial(u, v)}{\partial(\bar{u}, \bar{v})} \bar{X}_{\bar{u}} \wedge \bar{X}_{\bar{v}}}{\left\| \frac{\partial(u, v)}{\partial(\bar{u}, \bar{v})} \bar{X}_{\bar{u}} \wedge \bar{X}_{\bar{v}} \right\|} \\ &= \frac{\frac{\partial(u, v)}{\partial(\bar{u}, \bar{v})} \bar{X}_{\bar{u}} \wedge \bar{X}_{\bar{v}}}{\left| \frac{\partial(u, v)}{\partial(\bar{u}, \bar{v})} \right| \|\bar{X}_{\bar{u}} \wedge \bar{X}_{\bar{v}}\|} \\ &= \text{sign} \left( \frac{\partial(u, v)}{\partial(\bar{u}, \bar{v})} \right) N(\bar{u}, \bar{v}) \\ &= -N(\bar{u}, \bar{v}). \end{aligned}$$

Absurdo! Portanto, a dada família de vizinhanças coordenadas, com eventuais intercâmbios de  $u, v$ , torna  $S$  orientável.  $\square$

**Exemplo 2.3** (Esfera unitária ( $S^2$ )). *Note que a aplicação  $N(x, y, z) := (x, y, z)$  quando restrita aos pontos de  $S^2$  é uma campo normal diferenciável (prova usando coordenadas). Além disso, sua diferencial em  $p \in S^2$  aplicada ao vetor  $v \in T_p S^2$  é dada por*

$$dN_p(v) = v.$$

## 2.2. O gradiente.

**Definição 2.1.** *Seja  $S \subset \mathbb{R}^3$  uma superfície regular e  $f : S \rightarrow \mathbb{R}$  uma função diferenciável. Definimos o **gradiente de  $f$  em  $p \in S$**  como o campo de vetores  $\nabla f : S \rightarrow \mathbb{R}^3$  tal que*

$$\langle \nabla f(p), v \rangle = df_p(v),$$

*para todo  $v \in T_p S$ .*

**Lema 2.1.** *Seja  $f : \mathbb{R}^3 \rightarrow \mathbb{R}$  uma função diferenciável (pelo menos  $\mathcal{C}^2$ ) e  $a \in \mathbb{R}$  um valor regular de  $f$ . Então  $S := f^{-1}(a)$  é uma superfície regular orientável.*

*Rascunho da Demonstração.* Use o Teorema da função inversa para mostrar que  $S$  é uma superfície regular. Para mostrar que  $S$  é orientável mostre que  $N(p) := \frac{\nabla f(p)}{\|\nabla f(p)\|}$  é um campo normal unitário em  $S$  e, pela 2.1 temos que  $S$  é orientável.  $\square$

**FIM DO CAPÍTULO 2 DO LIVRO [DC05].**

**2.3. A segunda forma fundamental.** Sejam  $S = X(U)$ ,  $U \subset \mathbb{R}^2$ , uma superfície parametrizada regular,  $p = X(u, v)$ ,  $v \in T_p S$  e  $\alpha(t) = X(u(t), v(t))$  uma curva em  $S$  tal que  $\alpha(t_0) = p$  e  $\alpha'(t_0) = v$ .

Primeiramente, note que

$$v = \alpha'(t) = \frac{d\alpha}{dt}$$

$$\begin{aligned}
&= \frac{dX(u(t), v(t))}{dt} \\
&= \frac{\partial X}{\partial u} \frac{du}{dt} + \frac{\partial X}{\partial v} \frac{dv}{dt} \\
&= u'(t)X_u(u(t), v(t)) + v'(t)X_v(u(t), v(t)),
\end{aligned}$$

e

$$\begin{aligned}
\alpha''(t) &= \frac{d^2\alpha}{dt^2} \\
&= \frac{d}{dt} (u'(t)X_u(u(t), v(t)) + v'(t)X_v(u(t), v(t))) \\
&= u''(t)X_u(u(t), v(t)) + u'(t)\frac{dX_u(u(t), v(t))}{dt} + v''(t)X_v(u(t), v(t)) + v'(t)\frac{dX_v(u(t), v(t))}{dt} \\
&= u''(t)X_u(u(t), v(t)) + u'(t)\left(\frac{dX_u}{du}\frac{du}{dt} + \frac{dX_u}{dv}\frac{dv}{dt}\right) + v''(t)X_v(u(t), v(t)) + v'(t)\left(\frac{dX_v}{du}\frac{du}{dt} + \frac{dX_v}{dv}\frac{dv}{dt}\right) \\
&= u''(t)X_u(u(t), v(t)) + (u'(t))^2X_{uu}(u(t), v(t)) + u'(t)v'(t)X_{uv}(u(t), v(t)) \\
&\quad + v''(t)X_v(u(t), v(t)) + v'(t)u'(t)X_{vu}(u(t), v(t)) + (v'(t))^2X_{vv}(u(t), v(t)) \\
&= u''(t)X_u(u(t), v(t)) + v''(t)X_v(u(t), v(t)) \\
&\quad + (u'(t))^2X_{uu}(u(t), v(t)) + 2u'(t)v'(t)X_{uv}(u(t), v(t)) + (v'(t))^2X_{vv}(u(t), v(t)).
\end{aligned}$$

No ponto  $p = \alpha(t_0)$  temos que  $\{X_u(u_0, v_0), X_v(u_0, v_0), N(u_0, v_0)\}$  é uma base do  $\mathbb{R}^3$ , onde  $(u_0, v_0) = (u(t_0), v(t_0))$ . Calculemos a componente de  $\alpha''(t_0)$  na direção  $N(u_0, v_0)$ .

**Observação 2.1.** As componentes de  $\alpha''(t_0)$  nas direções  $X_u(u_0, v_0)$  e  $X_v(u_0, v_0)$  serão calculadas posteriormente e levarão aos símbolos de Christoffel.

$$\begin{aligned}
\langle \alpha''(t_0), N(u_0, v_0) \rangle &= u''(t_0)\langle X_u, N \rangle + v''(t_0)\langle X_v, N \rangle \\
&\quad + (u'(t_0))^2\langle X_{uu}, N \rangle + 2u'(t_0)v'(t_0)\langle X_{uv}, N \rangle + (v'(t_0))^2\langle X_{vv}, N \rangle \\
&= (u'(t_0))^2\langle X_{uu}, N \rangle + 2u'(t_0)v'(t_0)\langle X_{uv}, N \rangle + (v'(t_0))^2\langle X_{vv}, N \rangle \\
&= \langle v, X_u \rangle^2\langle X_{uu}, N \rangle + 2\langle v, X_u \rangle\langle v, X_v \rangle\langle X_{uv}, N \rangle + \langle v, X_v \rangle^2\langle X_{vv}, N \rangle.
\end{aligned}$$

**Observação 2.2** (Exercício). O número  $\langle \alpha''(t_0), N(u_0, v_0) \rangle$  não depende da parametrização da curva  $\alpha(t)$ .

**Definição 2.2.** Seja  $S = X(U)$ ,  $U \subset \mathbb{R}^2$ , uma superfície parametrizada regular e  $p \in S$ . Definimos a **segunda forma fundamental de  $S$  em  $p$**  como sendo a forma quadrática  $\Pi_p : T_p S \rightarrow \mathbb{R}$  dada por

$$\begin{aligned}
\Pi_p(v) &:= a^2\langle X_{uu}, N \rangle + 2ab\langle X_{uv}, N \rangle + b^2\langle X_{vv}, N \rangle \\
&= a^2e(u, v) + 2abf(u, v) + b^2g(u, v).
\end{aligned}$$

onde  $v = aX_u + bX_v$  e

$$\begin{cases} e(u, v) &:= \langle X_{uu}(u, v), N(u, v) \rangle \\ f(u, v) &:= \langle X_{uv}(u, v), N(u, v) \rangle \\ g(u, v) &:= \langle X_{vv}(u, v), N(u, v) \rangle \end{cases}.$$

Chamamos as funções  $e, f, g : U \subset \mathbb{R}^2 \rightarrow \mathbb{R}$  de **coeficientes da segunda forma fundamental de  $S$** .

**2.3.1. Consequências geométricas.** Sejam  $S = X(U)$ ,  $U \subset \mathbb{R}^2$ , uma superfície parametrizada regular,  $p = X(u, v)$ ,  $v \in T_p S$  e  $\alpha(s) = X(u(s), v(s))$  uma curva p.p.c.a. em  $S$  tal que  $\alpha(s_0) = p$  e  $\alpha'(s_0) = v$ .

Considere  $\{\vec{t}, \vec{n}, \vec{b}\}$  o triedro de Frenet-Serret de  $\alpha$ . Neste caso,

$$\langle \alpha''(s), N(\alpha(s)) \rangle = \langle \kappa(s)\vec{n}(s), N(\alpha(s)) \rangle = \kappa(s)\langle \vec{n}(s), N(\alpha(s)) \rangle = \kappa(s)\cos(\theta(s)),$$



onde  $\theta(s) := \angle(\vec{n}(s), N(\alpha(s)))$ .

Suponha que o traço de  $\alpha$  seja uma seção normal de  $S$  em  $p$ , isto é,  $\alpha = \Pi \cap S$ , em que  $\Pi$  é o plano nas direções  $\alpha'(s)$  e  $N(\alpha(s))$  em  $p$ .

Como  $\alpha$  é uma curva plana então  $\Pi$  é o plano osculador que passa por  $p$  e cujos vetores diretores são  $\alpha'(s)$  e  $\vec{n}(s)$ . Mas como  $\alpha'(s) \perp N(\alpha(s))$  e  $\alpha'(s) \perp \vec{n}(s)$  temos que  $\vec{n}(s) = \pm N(\alpha(s))$  e daí

$$\langle \alpha''(s), N(\alpha(s)) \rangle = \pm \kappa(s).$$

#### 2.4. A curvatura normal.

**Definição 2.3.** *Sejam  $S = X(U)$ ,  $U \subset \mathbb{R}^2$ , uma superfície parametrizada regular,  $p \in S$  e  $v \in T_p S$ . Definimos a **curvatura normal de  $S$  em  $p$  na direção  $v$**  por*

$$\kappa_{n,p}(v) := \frac{\Pi_p(v)}{I_p(v)}.$$

Note que a curvatura normal de uma superfície  $S$  em um ponto  $p$  depende somente da direção de  $v$ . De fato, para  $\lambda \in \mathbb{R}$ ,

$$\begin{aligned} \kappa_{n,p}(\lambda v) &= \frac{\Pi_p(\lambda v)}{I_p(\lambda v)} \\ &= \frac{(\lambda a)^2 e + 2(\lambda a)(\lambda b)f + (\lambda b)^2 g}{(\lambda a)^2 E + 2(\lambda a)(\lambda b)F + (\lambda b)^2 G} \\ &= \frac{\Pi_p(v)}{I_p(v)} \\ &= \kappa_{n,p}(v). \end{aligned}$$

**2.5. Exemplos.** Agora faremos alguns exemplos de como calcular a segunda forma fundamental e a curvatura normal.

**Exemplo 2.4** (Esfera). *Valos calcular a primeira e a segunda formas fundamentais de uma esfera em um ponto da vizinhança coordenada pela parametrização*

$$X(u, v) = (a \cos(u) \sin(v), a \sin(u) \sin(v), a \cos(v)),$$

com  $a > 0$ . Primeiro observe que

$$\begin{aligned} X_u(u, v) &= (-a \sin(u) \sin(v), a \cos(u) \sin(v), 0), \\ X_v(u, v) &= (a \cos(u) \cos(v), a \sin(u) \cos(v), -a \sin(v)), \\ X_{uu}(u, v) &= (-a \cos(u) \sin(v), -a \sin(u) \sin(v), 0), \\ X_{uv}(u, v) &= (-a \sin(u) \cos(v), a \cos(u) \cos(v), 0), \\ X_{vv}(u, v) &= (-a \cos(u) \sin(v), -a \sin(u) \sin(v), -a \cos(v)). \end{aligned}$$

Agora calculemos o vetor normal em  $p$ :

$$\begin{aligned} N(p) &= \frac{X_u \wedge X_v}{\|X_u \wedge X_v\|} \\ &= \frac{\begin{pmatrix} \hat{i} & \hat{j} & \hat{k} \\ -a \sin(u) \sin(v) & a \cos(u) \sin(v) & 0 \\ a \cos(u) \cos(v) & a \sin(u) \cos(v) & -a \sin(v) \end{pmatrix}}{\|X_u \wedge X_v\|} \\ &= \frac{(-a \sin(v) a \cos(u) \sin(v)) \hat{i} + (-a \sin(v) a \sin(u) \sin(v)) \hat{j} + (-a \sin(u) \cos(v) a \sin(u) \sin(v) - a \cos(u) \sin(v) a \cos(u) \cos(v)) \hat{k}}{\|X_u \wedge X_v\|} \\ &= \frac{(-a^2 \sin^2(v) \cos(u)) \hat{i} + (-a^2 \sin^2(v) \sin(u)) \hat{j} + (-a^2 \sin^2(u) \cos(v) \sin(v) - a^2 \cos^2(u) \sin(v) \cos(v)) \hat{k}}{\|X_u \wedge X_v\|} \\ &= \frac{(-a^2 \sin^2(v) \cos(u)) \hat{i} + (-a^2 \sin^2(v) \sin(u)) \hat{j} + (-a^2 \cos(v) \sin(v) (\sin^2(v) + \cos^2(v))) \hat{k}}{\|X_u \wedge X_v\|} \\ &= \frac{(-a^2 \sin^2(v) \cos(u)) \hat{i} + (-a^2 \sin^2(v) \sin(u)) \hat{j} + (-a^2 \cos(v) \sin(v)) \hat{k}}{\|X_u \wedge X_v\|} \end{aligned}$$

$$\begin{aligned}
&= \frac{(-a^2 \sin^2(v) \cos(u)) \hat{i} + (-a^2 \sin^2(v) \sin(u)) \hat{j} + (-a^2 \cos(v) \sin(v)) \hat{k}}{\sqrt{(-a^2 \sin^2(v) \cos(u))^2 + (-a^2 \sin^2(v) \sin(u))^2 + (-a^2 \cos(v) \sin(v))^2}} \\
&= \frac{(-a^2 \sin^2(v) \cos(u)) \hat{i} + (-a^2 \sin^2(v) \sin(u)) \hat{j} + (-a^2 \cos(v) \sin(v)) \hat{k}}{\sqrt{a^4 \sin^4(v) \cos^2(u) + a^4 \sin^4(v) \sin^2(u) + a^4 \cos^2(v) \sin^2(v)}} \\
&= \frac{(-a^2 \sin^2(v) \cos(u)) \hat{i} + (-a^2 \sin^2(v) \sin(u)) \hat{j} + (-a^2 \cos(v) \sin(v)) \hat{k}}{\sqrt{a^4 \sin^4(v) + a^4 \cos^2(v) \sin^2(v)}} \\
&= \frac{(-a^2 \sin^2(v) \cos(u)) \hat{i} + (-a^2 \sin^2(v) \sin(u)) \hat{j} + (-a^2 \cos(v) \sin(v)) \hat{k}}{\sqrt{a^4 \sin^2(v)}} \\
&= \frac{(-a^2 \sqrt{\sin^4(v)} \cos(u)) \hat{i} + (-a^2 \sqrt{\sin^4(v)} \sin(u)) \hat{j} + (-a^2 \cos(v) \sqrt{\sin^2(v)}) \hat{k}}{a^2 \sqrt{\sin^2(v)}} \\
&= (-|\sin(v)| \cos(u), -|\sin(v)| \sin(u), \cos(v)).
\end{aligned}$$

Finalmente podemos calcular os coeficientes da primeira e segunda formas fundamentais:

$$\begin{aligned}
E(u, v) &= \langle X_u, X_u \rangle = a^2 \sin^2(v) \\
F(u, v) &= \langle X_u, X_v \rangle = 0 \\
G(u, v) &= \langle X_v, X_v \rangle = a^2 \\
e(u, v) &= \langle X_{uu}, N \rangle = a \sin^2(v) \\
f(u, v) &= \langle X_{uv}, N \rangle = 0 \\
g(u, v) &= \langle X_{vv}, N \rangle = a.
\end{aligned}$$

Obteremos a primeira e segunda formas fundamentais para  $v$ , um vetor tangente a esfera no ponto  $p$ , dado na base associada a  $X(u, v)$  por

$$v = v_1 X_u + v_2 X_v.$$

Logo,

$$\begin{aligned}
I_p(v) &= v_1^2(a^2 \sin^2(v)) + v_2^2 a^2 \\
II_p(v) &= v_1^2(a \sin^2(v)) + v_2^2 a.
\end{aligned}$$

Por fim, calculamos a curvatura normal:

$$\kappa_{n,p}(v) = \frac{II_p(v)}{I_p(v)} = \frac{v_1^2(a \sin^2(v)) + v_2^2 a}{v_1^2(a^2 \sin^2(v)) + v_2^2 a^2} = \frac{1}{a}.$$

$\kappa_{n,p}(v)$  é a curvatura do círculo máximo determinado por  $p, N, v$ .

**Exemplo 2.5** (Plano). Vamos calcular a primeira e segunda formas fundamentais do plano  $S = X(U)$  cuja equação é  $ax + by + cz + d = 0$ , com  $c \neq 0$ , em um ponto da vizinhança coordenada pela parametrização

$$X(u, v) = \left( u, v, \frac{-d - au - bv}{c} \right).$$

Primeiro observe que

$$\begin{aligned}
X_u(u, v) &= \left( 1, 0, -\frac{a}{c} \right), \\
X_v(u, v) &= \left( 0, 1, -\frac{b}{c} \right), \\
X_{uu}(u, v) &= (0, 0, 0), \\
X_{uv}(u, v) &= (0, 0, 0), \\
X_{vv}(u, v) &= (0, 0, 0).
\end{aligned}$$

Agora calculamos o vetor normal em  $p$ :

$$N(p) = \frac{X_u \wedge X_v}{\|X_u \wedge X_v\|}$$

$$\begin{aligned}
& \begin{pmatrix} \hat{i} & \hat{j} & \hat{k} \\ 1 & 0 & -\frac{a}{c} \\ 0 & 1 & -\frac{b}{c} \end{pmatrix} \\
&= \frac{\begin{pmatrix} \hat{i} & \hat{j} & \hat{k} \\ 1 & 0 & -\frac{a}{c} \\ 0 & 1 & -\frac{b}{c} \end{pmatrix}}{\|X_u \wedge X_v\|} \\
&= \frac{\left(\frac{a}{c}\right)\hat{i} + \left(\frac{b}{c}\right)\hat{j} + (1)\hat{k}}{\|X_u \wedge X_v\|} \\
&= \frac{\left(\frac{a}{c}\right)\hat{i} + \left(\frac{b}{c}\right)\hat{j} + (1)\hat{k}}{\sqrt{\left(\frac{a}{c}\right)^2 + \left(\frac{b}{c}\right)^2 + 1}} \\
&= \frac{1}{\sqrt{\left(\frac{a}{c}\right)^2 + \left(\frac{b}{c}\right)^2 + 1}} \left(\frac{a}{c}, \frac{b}{c}, 1\right).
\end{aligned}$$

Finalmente podemos calcular os coeficientes da primeira e segunda formas fundamentais:

$$E(u, v) = \langle X_u, X_u \rangle = 1 + \frac{a^2}{b^2}$$

$$F(u, v) = \langle X_u, X_v \rangle = \frac{ab}{c^2}$$

$$G(u, v) = \langle X_v, X_v \rangle = 1 + \frac{b^2}{c^2}$$

$$e(u, v) = \langle X_{uu}, N \rangle = 0$$

$$f(u, v) = \langle X_{uv}, N \rangle = 0$$

$$g(u, v) = \langle X_{vv}, N \rangle = 0.$$

Obteremos a primeira e segunda formas fundamentais para  $v$ , um vetor tangente ao plano no ponto  $p$ , dado na base associada a  $X(u, v)$  por

$$v = v_1 X_u + v_2 X_v.$$

Logo,

$$I_p(v) = v_1^2 \left(1 + \frac{a^2}{b^2}\right) + 2v_1 v_2 \left(\frac{ab}{c^2}\right) + v_2^2 \left(1 + \frac{b^2}{c^2}\right)$$

$$II_p(v) = 0.$$

Por fim, calculamos a curvatura normal:

$$\kappa_{n,p}(v) = \frac{II_p(v)}{I_p(v)} = \frac{0}{v_1^2 \left(1 + \frac{a^2}{b^2}\right) + 2v_1 v_2 \left(\frac{ab}{c^2}\right) + v_2^2 \left(1 + \frac{b^2}{c^2}\right)} = 0.$$

A curvatura de qualquer seção normal do plano é igual a 0, pois são retas.

**Exemplo 2.6** (Cilindro circular). Vamos calcular a primeira e segunda formas fundamentais de um cilindro circular em um ponto da vizinhança coordenada pela parametrização

$$X(u, v) = (r \cos(u), r \sin(u), v),$$

com  $r > 0$ . Vamos calcular a primeira e a segunda formas fundamentais de uma esfera em um ponto da vizinhança coordenada pela parametrização

$$X(u, v) = (a \cos(u) \sin(v), a \sin(u) \sin(v), a \cos(v)),$$

com  $a > 0$ . Primeiro observe que

$$X_u(u, v) = (-r \sin(u), r \cos(u), 0),$$

$$X_v(u, v) = (0, 0, 1),$$

$$X_{uu}(u, v) = (-r \cos(u), -r \sin(u), 0),$$

$$X_{uv}(u, v) = (0, 0, 0),$$

$$X_{vv}(u, v) = (0, 0, 0).$$

Agora calculemos o vetor normal em  $p$ :

$$\begin{aligned} N(p) &= \frac{X_u \wedge X_v}{\|X_u \wedge X_v\|} \\ &= \frac{\begin{pmatrix} \hat{i} & \hat{j} & \hat{k} \\ -r \sin(u) & r \cos(u) & 0 \\ 0 & 0 & 1 \end{pmatrix}}{\|X_u \wedge X_v\|} \\ &= \frac{(r \cos(u)) \hat{i} + (r \sin(u)) \hat{j} + (0) \hat{k}}{\|X_u \wedge X_v\|} \\ &= \frac{(r \cos(u)) \hat{i} + (r \sin(u)) \hat{j} + (0) \hat{k}}{\sqrt{(r \cos(u))^2 + (r \sin(u))^2 + 0}} \\ &= \frac{(r \cos(u)) \hat{i} + (r \sin(u)) \hat{j} + (0) \hat{k}}{r} \\ &= (\cos(u), \sin(u), 0). \end{aligned}$$

Finalmente podemos calcular os coeficientes da primeira e segunda formas fundamentais:

$$E(u, v) = \langle X_u, X_u \rangle = r^2$$

$$F(u, v) = \langle X_u, X_v \rangle = 0$$

$$G(u, v) = \langle X_v, X_v \rangle = 1$$

$$e(u, v) = \langle X_{uu}, N \rangle = -r$$

$$f(u, v) = \langle X_{uv}, N \rangle = 0$$

$$g(u, v) = \langle X_{vv}, N \rangle = 0.$$

Obteremos a primeira e segunda formas fundamentais para  $v$ , um vetor tangente a esfera no ponto  $p$ , dado na base associada a  $X(u, v)$  por

$$v = v_1 X_u + v_2 X_v.$$

Logo,

$$I_p(v) = v_1^2(r^2) + v_2^2$$

$$II_p(v) = v_1^2(-r).$$

Por fim, calculamos a curvatura normal:

$$\kappa_{n,p}(v) = \frac{II_p(v)}{I_p(v)} = \frac{-v_1^2 r}{v_1^2(r^2) + v_2^2} \leq 0.$$

O máximo de  $\kappa_{n,p}(v)$  ocorre para  $v_1 = 0$ , isto é,  $v = v_2 X_v$  e neste caso  $\kappa_{n,p}(v) = 0$ .

O mínimo de  $\kappa_{n,p}(v)$  ocorre para  $v_2 = 0$ , isto é,  $v = v_1 X_u$  e neste caso  $\kappa_{n,p}(v) = -\frac{1}{r}$ .

## 3. AULA DO DIA 25/09/2023

Objetivos da aula:

- A aplicação normal de Gauss (aproximadamente 15 minutos)
- Exemplos (aproximadamente 15 minutos)
- Diferencial da aplicação normal de Gauss (aproximadamente 20 minutos)
- Pausa de 10 minutos
- Consequências geométricas (aproximadamente 30 minutos)
- Exemplos (aproximadamente 10 minutos)
- A fórmula de Euler (aproximadamente 10 minutos)
- Acabar 10 minutos antes

Tempo de aula (expectativa): 120 minutos.

**3.1. A aplicação normal de Gauss.** Como medir a taxa de variação do plano tangente em um ponto  $p$  de uma superfície regular  $S$ ?

Isso será feito a partir da aplicação linear de  $T_p S$  em  $T_p S$  dada pela variação do campo normal  $N$ , ilustrado na Figura 7 no caso em que  $S$  é a esfera de centro na origem e raio 5.

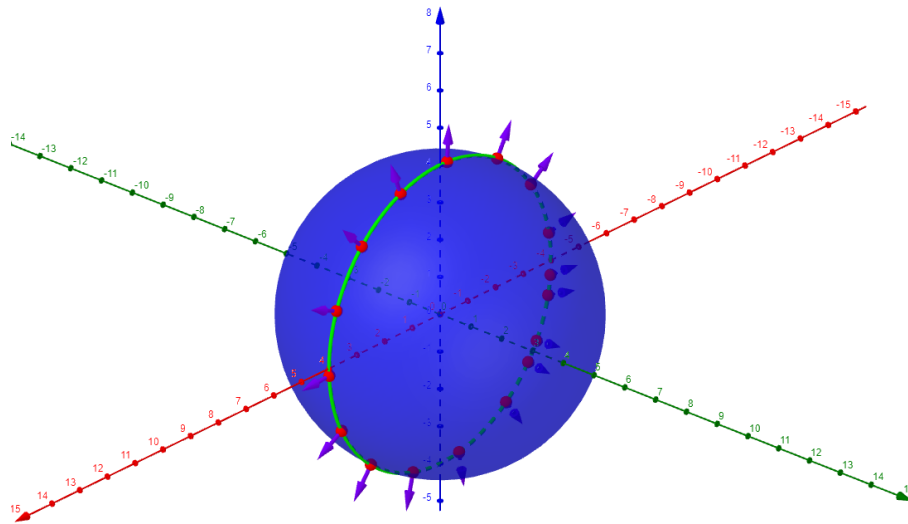


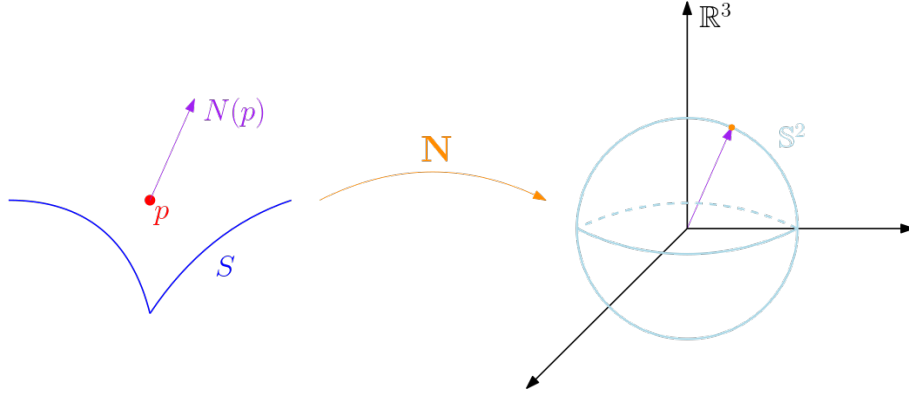
FIGURA 7. Campo normal unitário sobre um meridiano da esfera de centro na origem e raio 5.

Note que a escolha de um vetor normal  $N(p) \in T_p S^\perp$  determina uma orientação de  $T_p S$ . Neste caso, dizemos que **a base  $\{u, v\}$  de  $T_p S$  está orientada positivamente (resp. negativamente) em relação ao normal  $N(p)$**  se  $\{u, v, N(p)\}$  é uma base de  $\mathbb{R}^3$  orientada positivamente (resp. negativamente), isto é,  $\langle u \wedge v, N(p) \rangle > 0$  (resp.  $\langle u \wedge v, N(p) \rangle < 0$ ).

**Definição 3.1.** Uma **superfície orientada** é um par  $(S, N)$  em que  $S$  é uma superfície orientável e  $N : S \rightarrow \mathbb{R}^3$  é uma aplicação diferenciável tais que  $N(p) \in T_p S^\perp$  e  $\|N(p)\| = 1$  para todo  $p \in S$ .

**Definição 3.2.** Seja  $(S, N)$  uma superfície orientada. A **aplicação normal de Gauss de  $(S, N)$**  é a aplicação  $\mathbf{N} : S \rightarrow \mathbb{S}^2$  que associa a cada ponto  $p \in S$  o representante de  $N(p)$  com origem na origem de  $\mathbb{R}^3$ .

A Figura 8 ilustra a aplicação normal de Gauss  $\mathbf{N}$ .

FIGURA 8. A aplicação normal de Gauss  $N$ .

**Observação 3.1.** Note que como  $N$  é diferenciável por definição, temos que a aplicação normal de Gauss  $N$  é diferenciável. Além disso, como  $T_p S \parallel T_{N(p)} \mathbb{S}^2$  temos que  $T_p S \sim T_{N(p)} \mathbb{S}^2$ . Assim, através desta identificação, podemos olhar a diferencial da aplicação normal de Gauss  $dN_p$  como uma aplicação linear em  $T_p S$ .

Sejam  $S_1, S_2$  duas superfícies regulares e  $f : S_1 \rightarrow S_2$  uma aplicação diferenciável. Para  $p \in S_1$  e  $v \in T_p S_1$ , assim calculamos  $df_p(v)$ :

Seja  $\alpha : ]-\varepsilon, \varepsilon[ \rightarrow S_1$  uma curva em  $S_1$  tal que  $\alpha(0) = p$  e  $\alpha'(0) = v$ . Assim,

$$df_p(v) = \left. \frac{d}{dt} \right|_{t=0} (f \circ \alpha) = \beta'(0),$$

onde  $\beta(t) = f(\alpha(t))$  é uma curva em  $S_2$  tal que  $\beta(0) = f(p)$ .

**3.2. Exemplos.** Agora faremos alguns exemplos de como calcular a diferencial da aplicação normal de Gauss.

**Exemplo 3.1 (Esfera).** Vamos calcular a diferencial da aplicação normal de Gauss da esfera  $\mathbb{S}^2$ . Note que a aplicação  $N : \mathbb{S}^2 \rightarrow \mathbb{S}^2$ , dada por  $N(p) = -p$  para todo  $p \in \mathbb{S}^2$  é a aplicação normal de Gauss na esfera. Em coordenadas,

$$N(x, y, z) := (-x, -y, -z).$$

Sejam  $p \in \mathbb{S}^2$ ,  $v \in T_p \mathbb{S}^2$  arbitrários e  $\alpha : ]-\varepsilon, \varepsilon[ \rightarrow \mathbb{S}^2$  uma curva na esfera dada por  $\alpha(t) = (x(t), y(t), z(t))$  tal que  $\alpha(0) = p$ ,  $\alpha'(0) = v$ . Logo,

$$\begin{aligned} dN_p(v) &= \left. \frac{d}{dt} \right|_{t=0} (N \circ \alpha)(t) \\ &= \left. \frac{d}{dt} \right|_{t=0} N(x(t), y(t), z(t)) \\ &= \left. \frac{d}{dt} \right|_{t=0} (-x(t), -y(t), -z(t)) \\ &= -(x'(0), y'(0), z'(0)) \\ &= -\alpha'(0) \\ &= -v. \end{aligned}$$

Portanto,  $dN_p : T_p \mathbb{S}^2 \rightarrow T_p \mathbb{S}^2$  é menos a aplicação identidade. Em breve, interpretaremos geometricamente esta relação.

**Exemplo 3.2** (Plano). Vamos calcular a diferencial da aplicação normal de Gauss do plano  $S$  cuja equação é  $ax + by + cz + d = 0$ , com  $c \neq 0$ . Note que a aplicação  $N : S \rightarrow \mathbb{S}^2$ , dada por

$$N(x, y, z) = \frac{1}{\sqrt{\left(\frac{a}{c}\right)^2 + \left(\frac{b}{c}\right)^2 + 1}} \left( \frac{a}{c}, \frac{b}{c}, 1 \right),$$

é a aplicação normal de Gauss de  $S$ . Sejam  $p \in S$ ,  $v \in T_p S$  arbitrários e  $\alpha : ]-\varepsilon, \varepsilon[ \rightarrow S$  uma curva no plano dada por  $\alpha(t) = (x(t), y(t), z(t))$  tal que  $\alpha(0) = p$ ,  $\alpha'(0) = v$ . Logo,

$$dN_p(v) = \frac{d}{dt} \Big|_{t=0} (N \circ \alpha)(t) = \frac{d}{dt} \Big|_{t=0} N(x(t), y(t), z(t)) = \frac{d}{dt} \Big|_{t=0} \frac{1}{\sqrt{\left(\frac{a}{c}\right)^2 + \left(\frac{b}{c}\right)^2 + 1}} \left( \frac{a}{c}, \frac{b}{c}, 1 \right) = 0.$$

Portanto,  $dN_p : T_p S \rightarrow T_p S$  é a aplicação identicamente nula.

**Exemplo 3.3** (Cilindro circular). Vamos calcular a diferencial da aplicação normal de Gauss do cilindro circular  $S$  dado por  $\{(x, y, z) \in \mathbb{R}^3 : x^2 + y^2 = 1\}$ . Note que a aplicação  $N : S \rightarrow \mathbb{S}^2$ , dada por

$$N(x, y, z) = (x, y, 0),$$

é a aplicação normal de Gauss de  $S$ . Sejam  $p \in S$ ,  $v \in T_p S$  arbitrários e  $\alpha : ]-\varepsilon, \varepsilon[ \rightarrow S$  uma curva no cilindro circular dada por  $\alpha(t) = (x(t), y(t), z(t))$  tal que  $\alpha(0) = p$ ,  $\alpha'(0) = v$ . Logo,

$$dN_p(v) = \frac{d}{dt} \Big|_{t=0} (N \circ \alpha)(t) = \frac{d}{dt} \Big|_{t=0} N(x(t), y(t), z(t)) = \frac{d}{dt} \Big|_{t=0} (x(t), y(t), 0) = (x'(0), y'(0), 0).$$

Portanto,  $dN_p : T_p S \rightarrow T_p S$  é a projeção sobre o plano  $Oxy$ .

### 3.3. $dN_p$ é uma aplicação autoadjunta.

**Definição 3.3.** Seja  $V$  um espaço vetorial de dimensão finita com produto interno  $\langle \cdot, \cdot \rangle$  e  $T : V \rightarrow V$  uma aplicação linear. Dizemos que  $T$  é **autoadjunta** se

$$\langle Tv, w \rangle = \langle v, Tw \rangle,$$

para todos  $v, w \in V$ .

Sejam  $V$  um espaço vetorial de dimensão finita com produto interno  $\langle \cdot, \cdot \rangle$  e  $T : V \rightarrow V$  uma aplicação linear autoadjunta. Associamos  $T$  à forma bilinear simétrica

$$B_T(v, w) = \langle Tv, w \rangle,$$

e à forma quadrática

$$Q_T(v) = \langle Tv, v \rangle,$$

que estão relacionadas pela seguinte identidade:

$$B_T(v, w) = \frac{1}{4}(Q_T(v + w) - Q_T(v - w)).$$

**Proposição 3.1.** Sejam  $(S, N)$  uma superfície orientada e  $\mathbf{N}$  a aplicação normal de Gauss de  $(S, N)$ . A diferencial  $d\mathbf{N}_p$  da aplicação normal de Gauss é uma aplicação linear autoadjunta para todo  $p \in S$ .

*Demonstração.* Sejam  $p \in S$ ,  $X : U \subset \mathbb{R}^2 \rightarrow S$  uma carta de  $S$  tal que  $p \in X(U)$ ,  $v, w \in T_p S$  arbitrários e  $\alpha : ]-\varepsilon, \varepsilon[ \rightarrow S$  e  $\beta : ]-\delta, \delta[ \rightarrow S$  curvas em  $S$  dadas por  $\alpha(t) = X(u_1(t), v_1(t))$  e  $\beta(t) = X(u_2(t), v_2(t))$  tais que  $\alpha(0) = \beta(0) = p$ ,  $\alpha'(0) = v$  e  $\beta'(0) = w$ . Assim,

$$\begin{aligned} d\mathbf{N}_p(v) &= \frac{d}{dt} \Big|_{t=0} (\mathbf{N} \circ \alpha)(t) \\ &= \frac{d}{dt} \Big|_{t=0} (\mathbf{N} \circ X(u_1(t), v_1(t))) \\ &= \frac{\partial}{\partial u} (\mathbf{N} \circ X)(p) u_1'(0) + \frac{\partial}{\partial v} (\mathbf{N} \circ X)(p) v_1'(0) \end{aligned}$$

$$= u'_1(0)\mathbf{N}_u + v'_1(0)\mathbf{N}_v.$$

Analogamente,  $d\mathbf{N}_p(w) = u'_2(0)\mathbf{N}_u + v'_2(0)\mathbf{N}_v$ . Consequentemente,

$$\begin{aligned} \langle d\mathbf{N}_p(v), w \rangle &= \langle u'_1(0)\mathbf{N}_u + v'_1(0)\mathbf{N}_v, u'_2(0)\mathbf{N}_u + v'_2(0)\mathbf{N}_v \rangle \\ &= u'_1(0)u'_2(0)\langle \mathbf{N}_u, \mathbf{N}_u \rangle + u'_1(0)v'_2(0)\langle \mathbf{N}_u, \mathbf{N}_v \rangle \\ &\quad + v'_1(0)u'_2(0)\langle \mathbf{N}_v, \mathbf{N}_u \rangle + v'_1(0)v'_2(0)\langle \mathbf{N}_v, \mathbf{N}_v \rangle \end{aligned}$$

e

$$\begin{aligned} \langle v, d\mathbf{N}_p(w) \rangle &= \langle u'_1(0)X_u + v'_1(0)X_v, u'_2(0)\mathbf{N}_u + v'_2(0)\mathbf{N}_v \rangle \\ &= u'_1(0)u'_2(0)\langle X_u, \mathbf{N}_u \rangle + u'_1(0)v'_2(0)\langle X_u, \mathbf{N}_v \rangle \\ &\quad + v'_1(0)u'_2(0)\langle X_v, \mathbf{N}_u \rangle + v'_1(0)v'_2(0)\langle X_v, \mathbf{N}_v \rangle \end{aligned}$$

Portanto, se  $\langle \mathbf{N}_u, X_v \rangle = \langle \mathbf{N}_v, X_u \rangle$  então temos que

$$\langle d\mathbf{N}_p(v), w \rangle = \langle v, d\mathbf{N}_p(w) \rangle.$$

Portanto, pela arbitrariedade de  $p, v$  e  $w$ , temos que  $d\mathbf{N}_p$  é uma aplicação linear autoadjunta.

Agora vamos mostrar que  $\langle \mathbf{N}_u, X_v \rangle = \langle \mathbf{N}_v, X_u \rangle$ . Para ver isso derivamos  $\langle N, X_u \rangle = 0$  com relação a  $v$ , donde obtemos

$$\langle N_v, X_u \rangle = -\langle N, X_{uv} \rangle.$$

E derivamos  $\langle N, X_v \rangle = 0$  com relação a  $u$ , donde obtemos

$$\langle N_u, X_v \rangle = -\langle N, X_{vu} \rangle = -\langle N, X_{uv} \rangle.$$

Portanto,  $\langle N_v, X_u \rangle = \langle N_u, X_v \rangle$  como requerido.  $\square$

**3.4. Consequências geométricas.** Com o resultado obtido para a diferencial da aplicação normal de Gauss de uma superfície orientada podemos ter uma nova caracterização para a segunda forma fundamental desta superfície.

Sejam  $(S, N)$  uma superfície orientada e  $\mathbf{N}$  a aplicação normal de Gauss de  $(S, N)$ . Afirmamos que

$$\Pi_p(v) = -Q_{d\mathbf{N}_p}(v) = \langle -d\mathbf{N}_p(v), v \rangle,$$

onde  $Q_{d\mathbf{N}_p}$  é a forma quadrática associada a diferencial  $d\mathbf{N}_p$  da aplicação normal de Gauss.

De fato, sejam  $p \in S$ ,  $v \in T_p S$  arbitrários e  $\alpha : ]-\varepsilon, \varepsilon[ \rightarrow S$  tal que  $\alpha(0) = p$  e  $\alpha'(0) = v$ . Como  $\langle \mathbf{N}(\alpha(t)), \alpha'(t) \rangle = 0$  para todo  $t \in ]-\varepsilon, \varepsilon[$  temos que

$$\begin{aligned} \left. \frac{d}{dt} \right|_{t=0} \langle \mathbf{N}(\alpha(t)), \alpha'(t) \rangle &= 0 \\ \left\langle \left. \frac{d}{dt} \right|_{t=0} \mathbf{N}(\alpha(t)), \alpha'(0) \right\rangle + \left\langle \mathbf{N}(\alpha(0)), \left. \frac{d}{dt} \right|_{t=0} \alpha'(t) \right\rangle &= 0 \\ \langle d\mathbf{N}_p(v), v \rangle + \langle \mathbf{N}(p), \alpha''(0) \rangle &= 0 \\ Q_{d\mathbf{N}_p}(v) + \Pi_p(v) &= 0. \end{aligned}$$

**Teorema 3.1** (Teorema espectral). *Sejam  $V$  um espaço vetorial bidimensional com produto interno e  $T : V \rightarrow V$  uma aplicação linear autoadjunta. Então existe uma base ortonormal  $\{e_1, e_2\}$  de  $V$  tal que  $T(e_1) = \lambda_1 e_1$ ,  $T(e_2) = \lambda_2 e_2$  e os autovalores  $\lambda_1, \lambda_2$  são o máximo e o mínimo da forma quadrática  $Q_T$  no círculo unitário de  $V$ .*

Como  $-d\mathbf{N}_p$  é autoadjunta então existe uma base ortonormal  $\{e_1, e_2\}$  tal que

$$\begin{cases} -d\mathbf{N}_p(e_1) &= \kappa_1 e_1 \\ -d\mathbf{N}_p(e_2) &= \kappa_2 e_2 \end{cases},$$

onde  $\kappa_1, \kappa_2$  são o mínimo e o máximo de  $\Pi_p(v)$  com  $\|v\| = 1$ , respectivamente. Chamamos  $\kappa_1, \kappa_2$  de **curvaturas principais de  $S$  em  $p$**  e os respectivos  $e_1, e_2$  de **direções principais de  $S$  em  $p$** .



Chamamos de **operador de Weingarten de  $S$  em  $p$**  (ou **operador forma de  $S$  em  $p$** ) o operador linear  $\mathcal{S} := -d\mathbf{N}_p$ .

**Definição 3.4.** *Sejam  $S$  uma superfície orientada e  $p \in S$ . Definimos a **curvatura Gaussiana de  $S$  em  $p$**  por*

$$K(p) := \det(\mathcal{S}).$$

*Definimos também a **curvatura média de  $S$  em  $p$**  por*

$$H(p) := \frac{1}{2} \text{tr}(\mathcal{S}).$$

Seja  $\mathcal{B} = \{e_1, e_2\}$  uma base de direções principais de  $S$  em  $p$  com respectivas curvaturas principais  $\kappa_1, \kappa_2$  ( $\kappa_1 \leq \kappa_2$ ). Assim, a matriz de  $\mathcal{S}$  na base  $\mathcal{B}$  é dada por

$$[\mathcal{S}]_{\mathcal{B}} = \begin{pmatrix} \kappa_1 & 0 \\ 0 & \kappa_2 \end{pmatrix}.$$

E as curvaturas Gaussiana e média são dadas por

$$K(p) = \kappa_1 \kappa_2 \quad \text{e} \quad H(p) = \frac{\kappa_1 + \kappa_2}{2}.$$

**3.5. Exemplos.** Agora faremos alguns exemplos de como calcular as curvaturas principais, Gaussiana e normal.

**Exemplo 3.4** (Esfera). *Sejam  $S$  a esfera de centro na origem e raio  $r$ ,  $p \in S$  e  $v \in T_p S$  arbitrários tais que  $\|v\|=1$  (isto é,  $v$  está no círculo unitário de  $T_p S$ ). Note que*

$$\Pi_p(v) = \frac{\Pi_p(v)}{I_p(v)} = \kappa_{n,p}(v) = \frac{1}{r}.$$

*Portanto o mínimo e o máximo da forma quadrática  $\Pi_p$  no círculo unitário de  $T_p S$  são dados por  $\kappa_1 = \frac{1}{r}$  e  $\kappa_2 = \frac{1}{r}$ . Portanto,*

$$K(p) = \frac{1}{r^2} \quad \text{e} \quad H(p) = \frac{1}{r}.$$

**Exemplo 3.5** (Plano). *Seja  $S$  o plano cuja equação é  $ax + by + cz + d = 0$ , com  $c \neq 0$ ,  $p \in S$  e  $v \in T_p S$  arbitrários tais que  $\|v\|=1$  (isto é,  $v$  está no círculo unitário de  $T_p S$ ). Note que*

$$\Pi_p(v) = \frac{\Pi_p(v)}{I_p(v)} = \kappa_{n,p}(v) = 0.$$

*Portanto o mínimo e o máximo da forma quadrática  $\Pi_p$  no círculo unitário de  $T_p S$  são dados por  $\kappa_1 = 0$  e  $\kappa_2 = 0$ . Portanto,*

$$K(p) = 0 \quad \text{e} \quad H(p) = 0.$$

**Exemplo 3.6** (Cilindro circular). *Seja  $S = X(U)$  o cilindro circular de raio  $r$ ,  $p \in S$  e  $v \in T_p S$  arbitrários tais que  $\|v\|=1$  (isto é,  $v$  está no círculo unitário de  $T_p S$ ). Note que*

$$\Pi_p(v) = \frac{\Pi_p(v)}{I_p(v)} = \kappa_{n,p}(v) = \frac{-v_1^2 r}{v_1^2(r^2) + v_2^2} \leq 0,$$

*onde  $v = v_1 X_u + v_2 X_v$ . Portanto o mínimo e o máximo da forma quadrática  $\Pi_p$  no círculo unitário de  $T_p S$  são dados por  $\kappa_1 = -\frac{1}{r}$  e  $\kappa_2 = 0$  (para ver isso basta usar a identidade  $v_1^2 + v_2^2 = 1$  na curvatura normal e maximizar e minimizar as funções para  $v_1$  e  $v_2$ ). Portanto,*

$$K(p) = 0 \quad \text{e} \quad H(p) = -\frac{1}{2r}.$$

**3.6. A fórmula de Euler.** A fórmula de Euler calcula a curvatura normal de um vetor unitário no espaço tangente através das curvaturas principais.

**Proposição 3.2** (Fórmula de Euler). *Sejam  $\kappa_1$  e  $\kappa_2$  as curvaturas principais de  $S = X(U)$  em  $p$ ,  $e_1$  e  $e_2$  as direções principais correspondentes. Se  $w \in T_p S$ ,  $\|w\| = 1$  e  $\theta$  é o ângulo entre  $w$  e  $e_1$ , então*

$$\kappa_{n,p}(w) = \kappa_1 \cos^2(\theta) + \kappa_2 \sin^2(\theta).$$

*Demonstração.* Note que  $w = \langle w, e_1 \rangle e_1 + \langle w, e_2 \rangle e_2 = \cos(\theta)e_1 + \sin(\theta)e_2$ . Assim,

$$\begin{aligned} \kappa_{n,p}(w) &= \frac{\Pi_p(w)}{I_p(w)} \\ &= \Pi_p(w) \\ &= -\langle d\mathbf{N}_p(w), w \rangle \\ &= -\langle d\mathbf{N}_p(\cos(\theta)e_1 + \sin(\theta)e_2), \cos(\theta)e_1 + \sin(\theta)e_2 \rangle \\ &= \langle -\cos(\theta)d\mathbf{N}_p(e_1) - \sin(\theta)d\mathbf{N}_p(e_2), \cos(\theta)e_1 + \sin(\theta)e_2 \rangle \\ &= \langle \cos(\theta)\kappa_1 e_1 + \sin(\theta)\kappa_2 e_2, \cos(\theta)e_1 + \sin(\theta)e_2 \rangle \\ &= \kappa_1 \cos^2(\theta) + \kappa_2 \sin^2(\theta). \end{aligned}$$

□

## REFERÊNCIAS

- [DC05] M. P. Do Carmo, *Geometria diferencial de curvas e superfícies*, Sociedade Brasileira de Matemática, 2005. [↑](#)[2](#), [15](#)